Statyuahr N3BECTИЯ

АКАДЕМИИ НАУК АРМЯНСКОЙ ССР

Sthubyuuuu арыльфальшьгр исгри СЕРИЯ ТЕХНИЧЕСКИХ НАУК

theyur

ÉPEBAH

BUPKAPKAKE BULEBIK

Կասյան Մ. Վ. (պատ. խժրագիր), Ադոնց Հ. Տ. (պատ. խժրագրի ահղակալ), Ալերսենսկի Վ. Վ., Անանյան Ա. Կ., Գորոյան Տ. Ա. Զադոյան Մ. Ա., Նագարով Ա. Գ., Տեր-Ազարե Ի. Ա., Փինաջյան Վ. Վ. (պատ. խժրագրի տեղակալ), Պատասխանատու քարտուղար Սահվանյան Ջ. Կ.

РЕДАКЦИОННАЯ КОЛЛЕГИЯ

Касьян М. В. (ответ, редактор), Адонц Г. Т. (зам. ответ, редактора), Алексеевский В. В., Ананян А. К., Гороян Т. А., Задоян М. А., Назаров А. Пинаджян В. В. (зам. ответ, редактора), Тер-Азарьев И. А. Ответственный секретарь Степанян Э. К.

ы дримурак рушь бил давь врешь 18, втрация прив фил. 24д Адрес редакции: Ереван-19, ул. Барскамутан, 241.

<u> 2003 ИНДИ НОЗ ЧЕЗОРЕЗОРООВЕР ВЫВЕСТИЯ АКАДЕМИИ НАУК АРМЯНСКОЯ ССР</u>

Տեխնիկական գիտուր, սեբիա

XXXI. № 3. 1978

Серия технических ваук

ЭНЕРГЕТИКА

Г. Т. АДОНЦ, Г. Е. МИРЗОЯН

НОВЫЙ КРИТЕРИЙ РАСЧЕТА ДИНАМИЧЕСКОЙ УСТОЙЧИВОСТИ ЭЛЕКТРОЭНЕРГЕТИЧЕСКОЙ СИСТЕМЫ

Введение. Существующий более 50 лет принцип расчета устойчиности переходного электромеханического процесса (динамической устойчивости) электроэнергетической системы основывается на критерии определения разности роторных углов двух генераторов, эквивалентно представляющих электростанции системы, т. с.

$$\Psi_{\varepsilon}(t) - \Psi_{\varepsilon}(t) \leqslant \varepsilon,$$
 (1)

где Ψ_r , Ψ_g — соответственно роторный угол генератора г и генератора баланса активных мощностей исследуемой системы; ε — допустниая разность роторных углов указанных генераторов; ℓ — время переходного процесса.

Для получения оценки об устойчивости или неустойчивости исследуеонотительной общиствения и метарительной применения общиствения в применения в прим () проверить по ясем эквивалентным генераторам системы, т. е. распространить индекс г критерия (1) на все ее станции. Критерий (1) используется во всех исследованиях устойчивости режимов, как эксилуатационных, так и необходимых в стадии проектирования развития эпергосистем. Возможности использования критерия (1) для определения динамической устойчивости современных энергосистем, охватывающих несколько десятков и сотей электростанций, резко ограничивается. Объясняется это тем, что критерий (1) по своей физической сущности получен для схемы генератор-шины бесконечной мощности и далее распространен на системы с относительно небольшим числом эквивалентных генераторов. Между тем, в современной энергосистеме электрические станции удалены друг от друга на тысячи километров и оценка устойчивости по расходимости их роторных углов не имеет физического смысла.

Предлагаемый критерий. Для определения динамической устойчивости или пеустойчивости современных электроэпергетических систем, включая и малые энергосистемы, предлагается принцип расчета, основанный на следующем критерии:

$$|\sin|\Psi_{\mathbf{r}}(t) - \Psi_{\mathbf{k}}(t)| = \sin|\Psi_{\mathbf{r}}(t - \Delta t) - \Psi_{\mathbf{k}}(t - \Delta t)| \leq \varepsilon, \tag{2}$$

где г, k — индексы генераторного узла и некоторого ближайшего к генератору узла энергосистемы; t — время переходного динамического процесса; Δt — принятый шаг-интернал времени в расчете устойчи вости.

Физическая сущность критерия (2) заключается в том, что об устойчивости системы в целом предлагается судить по устойчивости каждой станции или генератора, имея в виду синус разности фаз генераторной э. д. с. и напряжения ближайшего к генератору узла.

Расчетные уравнения. Для определения параметров устапонившегося режима для каждого момента расчета динамической устойчивости используются следующие уравнения:

$$P_{r} = U_{r} k_{rr} + U_{r} U_{k} a_{rk} + U_{r} \sum_{\sigma = 0} U_{\sigma} a_{rs}$$

$$Q_{r} = U_{r} b_{rr} + U_{r} U_{k} a_{rk} + U_{r} \sum_{\sigma = 0} U_{\sigma} a_{rs}$$
(3)

где

$$a_{rj} = g_{rj} \cos (\Psi_r - \Psi_j) - b_{rj} \sin (\Psi_r - \Psi_j),$$

$$\theta_{rj} = g_{rj} \sin (\Psi_r - \Psi_j) + b_{rj} \cos (\Psi_r - \Psi_f).$$

 g_{rj} , b_{rj} — параметры схемы замещения относительно уэлов г и j; P, Q— активная и реактивная мощности генераторных, нагрузочных и сетевых уэлов; U, Ψ — модули и аргументы тех же множеств уэлов.

Уравнения (3) записываются для множества генераторных (эквивалентных станций), нагрузочных в сетевых узлов системы.

Решение уравнений (3) для исходного установившегося режима даст значения параметров режима, соответствующие моменту t=0 переходного динамического процесса.

Для определения Ψ_r в момент времени t>0 решается система дифференциальных урависний

$$\begin{pmatrix}
\frac{dT}{dt} = S_r(t), \\
\frac{dS_r(t)}{dt} = \frac{P_{rs.}(t) - P_{rs.r}(t)}{T_r}
\end{pmatrix}$$
(4)

где $P_{\rm sa,r}(t)$ — электромагнитная мощность генератора, которая берется на решения уравнений установившегося режима для времени t; $S_{\rm r}(t)$ — скольжение генератора; $P_{\rm r,r}(t)$ — механическая мощность на налу генератора, в общем случае, зависящая от премени; $T_{\rm r}$ — постоянная инерции.

Совместное решение уравнений (4), осуществляемое на ЦВМ по методу Рунге-Кута [2], дает значение $\Psi_r(t)$. Расчет ведется для каждого интервала времени переходного процесса, т. е. для Δt . Новые

значения роторных углов генераторов используются для определения параметров установившегося режима по уравнениям (3), соотнетствующие данному интервалу времени. На каждом шаге расчета переходного процесса используется критерий (2) для оценки устойчивости каждого из генераторов системы.

Примеры расчета. Для одной эквивалентной схемы объединений Закавказской энергосистемы исследованы устойчивости двух режимов. По нараметрам исходного установившегося режима решены уравнения (4). Шаг интегрирования принят ранным 0,02 сек. Параметры схемы замещения и исследованных двух режимов приведены в статье [1]. В качестве возмущения принято отключение и повторное включение линии, связывающей узлы 21 и 41 эквивалентной схемы системы. По уравнениям (3) и (4) получены результаты расчета переходного динамического процесса системы. Согласно критерию (1) один из исследованных режимов оказался устойчивым, а другой—неустойчивым. Такие же результаты были получены по критерию (2), В частности, согласно критерию (2) величины в для устойчивого режима оказались в пределах 0÷0,23, а для неустойчивого режима—0÷0,6, т. с. намного больше пеличины в, соответствующих устойчивому режиму. Ниже в табличной форме (табл. 1 и 2) приводятся значения в.

		7	Габлица 1			7	^г аблица 2	
		s (f)			z (f)			
Уалы	min	max	ε (0.7)	Уэлы	ımln	max	ε (0,7)	
1	0	0,029	0,008	1	0	0,03	0,029	
2	0,0019	0,046	0,017	2	0.005	0,06	0,063	
3	0,0062	0.12	0,025	3	0.01	0,12	0,12	
4	0,0026	0,098	0,024	4	0.01	0,3	0,2	
5	0.007	0,18	0.083	5	0.02	0,22	0,08	
6	0,0023	0,12	0.049	6	0,01	0,32	0.07	
7	0.02	0,23	0.149	7	0,05	0,6	0,4	
8	0,002	0,05	0,034	8	0.008	0,19	0,147	
9	0,0002	0,004	0,003	9	0,001	0,01	0,006	
10	0.001	0,016	0.012	10	0,003	0.05	0,011	

Устойчивый режим.

Неустойчивый режим.

Из этих данных следует возможность выбора значения $\varepsilon=0,3$ в качестве критерия для оценки динамической устойчивости режима системы. При заданном $\varepsilon=0,3$ по критерию (2), после 0,7 сек. обнаруживается устойчивость перного и неустойчивость второго режимов. Время t=0,7 сек. находим из выражения $t=t_{\kappa,3}+2\Delta t$, где t=0 время устранения возмущения; Δt —принятый шаг интервал времени в расчете устойчивости (для данного примера $\Delta t=0,1$ сек.).

Вопрос эффективности использования критерия (2) в других примерах расчета устойчивости подлежит дальнейшему исследованию.

Выводы

- 1. Рекомендуется вместо существующего критерия (1) выявления динамической устойчивости электроэнергетической системы пользонаться критерием (2), основанным на принципе выявления устойчивости каждой станции системы.
- 2. Приведенный пример машинного эксперимента по расчету динамической устойчивости показал эффективность предлагаемого критерия (2) по сравнению с существующим критерием (1).
- 3. Критерий (2) позволяет приблизить методику расчета динамической устойчивости к ее физической сущности и значительно сократить общий объем вычислительных работ.

Ары НПИЭ

Поступила 15.ПП.1978

2. S. ԱԴՈՆՑ, Գ. Ե. ՄԻՐԶՈՅԱՆ

ԷԼԵԿՏՐԱԷՆԵՐԳԱՀԱՄԱԿԱՐԳԵՐԻ ԳԻՆԱՄԻԿ ԿԱՅՈՒՆՈՒԹՅԱՆ ՀԱՇՎԱՐԿՄԱՆ ՆՈՐ ՉԱՓԱՆԻՇ

Unification

էլեկարաէներգահամակարգերի գինամիկ կայունության կամ անկայունության որոշվան համար առաջարկվում է օրտվել նոր չափանիշով՝

$$|\sin|\Psi_{\rm r}(t)-\Psi_{\rm k}(t)|-\sin|\Psi_{\rm r}(t-\Delta t)-\Psi_{\rm k}(t-\Delta t)| \leq \varepsilon$$

Ջափանիշի ֆիդիկական իմաստը կայանում է նրանում, որ համակարդերի դինամիկ կայունունիյան մասին առաջարկվում է դատել յուրաբանչյուր կայանի կամ գններատորի կայունունիյամբ, հաշվի առնելով դեներատորի էլ. շ. ու.-ի և գեներատորին մոտ հանգուլցի լարման ֆազերի տարբերունիյան սինուսը։

Այդ չափանիշը քիույլ է տալիս զդալիորեն կր<mark>ձատ</mark>ել հաշվողական աշխատանքի ծավալն ու ժամանակը։

ЛИТЕРАТУРА

- Адонц Г. Т., Гамбурян К. А., Мурадян С. Г. Об одной тестовой задаче расчета установнишегося режима энергосистемы. «Электрические станции», 12, 1977.
- Демидович Б. П. Марон Н. А. Основы вычислительной математики Изл. «Наука». М., 1970.

ՀԱՅԿԱԿԱՆ ՍՍՀ ԳԻՏՈՒԹՅՈՒՆՆԵՐԻ ԱԿԱԳԵՄԻԱՅԻ ՏԵՂԵԿԱԳԵՐ ИЗВЕСТИЯ АКАДЕМИИ НАУК АРМЯНСКОЯ ССР

Տեխնիկական գիտութ, սեբիա

XXXI. № 3. 1978 Серия технических наук

ЭНЕРГЕТИКА

В. С. ХАЧАТРЯН, А. В. ТЕМУРДЖЯН, М. А. БАЛАБЕКЯН, Ю. А. КАЗАРЯН, Х. Г. ЛЕМИРЧЯН, Д. А. БАЛАСАНЯН

К ПОСТРОЕНИЮ ОДНОВ МАТЕМАТИЧЕСКОВ МОДЕЛИ ИЗ ОБЛАСТИ БОЛЬШИХ СИСТЕМ ЭНЕРГЕТИКИ

Практика эксплуатации районных газоснабжающих систем (РГС) похазывает, что систематические отказы, происходящие в них, существенно уменьшают поток газа в ГС, что приводит к значительному ущербу у потребителей и транспортных организаций.

При недостаточности средств резервирования в газоснабжающей системе возникает необходимость в создании резервов вторых топливных хозяйств у потребителей с целью компенсации ожидаемого недоотпуска газа [1].

Расчетная годовая потребность в гопливе «В» должна обеспечиваться расчетной годовой производительностью системы газоснабжения Однако, как уже было сказано, из-за ненадежного газоснабжеиня в системе появляется дефицит газа.

Головой дефицит газа по анарийным нагрузочным и ремонтным условиям $\Delta Q \cdot h$ (ΔQ --среднесуточный объем дефицита газа, τ , $M^3/cy\tau$., h-число дней недоотпуска газа в системе) должен компенсироваться годовым резервом второго топлива ΔB у потребителей газа. Годовой дефицит ДО-/п определяется по заданному уровню надежности газоспабжения Н.

Исходя из обеспечения голливоснабжения потребителей в течение рассматриваемого периода при заданной надежности газоснабжения H, требуется определить оптимальные объемы второго топлива у потребителей с одновременной оптимизацией потребления газа и второго топлива в аварийных ситуациях.

Для математического описания залачи введем обозначения:

- t номер потребления гоплива (t = 1, n);
- $\overline{N}_{L}(N_{H})$ максимальная (минимальная) величина газового потока (количество транспортируемого газа в сутки по 1-ой питке);
 - Y, искомое число суток недоотпуска газа г-му потреблению I-ой нити в году (продолжительность работы на резервном топливе);
- T 71 искомое число суток полной подачи газа 1-му потреблению в
 - U_{ij} стоимость газообразного топлива, руб/тыс, м³;

3м — удельные приведенные затраты на резервное топливо, $\tau \omega c$. $py \delta / \tau$. y. τ .;

 3_{nj} — годовые приведенные затраты на газопровод до 1-го потребления j-ой нити (если топливо не газ, то $3_{nj} = 0$):

З (AQ) — замыкающие затраты на резервное топливо, тыс. руб.:

 x_{ij} — искомый среднесуточный расход газа в нормальном состоянии (отбор газа у i-го потребления j-ой нити);

 Хи, — искомый суточный расход газа, подаваемый j-му потребителю при недоотпуске;

 X_{2i_1} — искомый суточный расход замещающего топлива i го потребителя j-ой инти при недоотпуске (если потребитель использует только газ, то $X_{ii_1} = 0$);

T — число суток в году:

X — суммарный расход замещающего топлива рассматриваемого района, тыс. м³/год.

При принятых исходных предпосылках рассматриваемая задача оптимизации объектов BTX с последующим определением потребления топлива в аварийном режиме сводится к разработке математической модели, позволяющей отыскать такой вектор показателей $X \mid X_{II}, X_{III}, X_{2II}, Y_L, X$, который дает решение в допустимой области изменения параметров и соответствует экстремуму целевой функции.

Математическая модель поставленной задачи представляется в следующем виде.

Необходимо найти минимум целевой функции

$$3(X) = \sum_{ij} 3_{ilj} + \sum_{ij} \mathcal{U}_{ij}^{r} (T - Y_{il}) X_{ij} + \sum_{ij} \mathcal{U}_{i} Y_{ij} X_{1lj} + \sum_{ij} 3_{ij}^{u} X_{2lj} Y_{ij} + 3(\Delta Q) X,$$
(1)

при соблюдении следующих условий:

$$\sum_{ij} X_{ij} (T - Y_{ij}) + \sum_{lj} X_{ilj} \cdot Y_{lj} + \sum_{ij} X_{2ij} \cdot Y_{lj} \geqslant B.$$
 (2)

$$\sum_{ij} X_{ij} \left(T - Y_{ij} \right) + \sum_{ij} X_{ili} Y_{ij} \leqslant Q, \tag{3}$$

$$N_{ij} \leqslant X_{ij} \leqslant \overline{N}_{ij}$$
, rae $i = \overline{1, n}$; $j = \overline{1, m}$,

$$N_{ij} \leqslant X_{ij} + X_{2ij} \leqslant N_{ij}. \tag{4}$$

$$\underline{V} \leqslant \sum_{i} X_{2ij} \cdot Y_{ij} \leqslant \overline{\Delta B}, \tag{5}$$

где

$$V = Q(H) \cdot h$$

$$\sum X_{2,j} \cdot Y_{ij} - X \leqslant 0,$$

$$X_{ij}, X_{Mi}, X_{Mi}, Y_{il} \geqslant 0.$$
(6)

Условие (2) обеспечивает покрытие потребности в топливе, (3) - марактеризует ограниченность объема подаваемого газа, (4) — возможные пределы изменения потребления различного топлива (газ. мазут), (5) -- возможность определения объема резервного топлива, (6) обеспечивает неотрицательность переменных.

В результате решения задачи (1—6) определяются оптимальное потребление резервного топлива газифицированными объектами, число сугок недоотнуска газа в аварийном режиме, а также структура емкости ВТХ.

Высокая точность описания режимов топливопотребления приводил к серьезному усложнению модели и увеличению ес размерности. Появляется нелинейность в виде парных показателей. Так, при заданной надежности расчет оптимальной системы масистральных газопроводов с ВТХ можно считать нелинейным аналогом классической транспортной задачи. Для ее решения можно пользоваться как классическими методами, гак и методами нелинейного программирования [2].

В практике все применяемые методы [3] в зависимости от конкретных дловий задачи имеют свои определенные преимущества и педостатки.

В связи с этим становится необходимым поиск универсального и гибкого математического анпарата для решения поставленной задачи оптимального размещения вторых топлинных хозяйств в се ливейной и нелинейной постановках. Многократные исследования показали, что настоящее время в качестве такого математического аппарата можно применять метод скользящего допуска (флексимплекс) [4], основанный на методе деформируемого многогранинка Нельдера и Мида.

При этом математическая задача (1—6) сводится к следующему: минимизировать S(X), $X \in E^n$ (т-мерное Евклидовое пространство) при ограничениях $h_L(X) = 0$ $i = 1, m, g_L(X) \geqslant 0$ i = m + 1, p.

Согласно методу скользящего допуска, это сводится к более простой задаче минимизации 3 (X) при единственном ограничении, определяющем область квазидопустимости в виде:

$$\Phi^{(j)} - T(X) \geqslant 0, \tag{7}$$

где $\phi^{(i)}$ — значение критерия скользящего допуска на j-ом этапе понска, который выбирается как положительно определениая убывающая функция координат, точек, являющихся вершинами деформируемого многограничка, и определяется формой

$$\Phi^{(k)} = \min \left\{ \begin{array}{ll} \Phi^{(k)} & \frac{m+1}{r+1} \sum_{i=1}^{r+1} \|X_i^{(k)} - X_{r+2}^{(k)}\| \\ \Phi^{(k)} = 2(m+1)t \end{array} \right.$$
 (8)

$$T(X) = + \left| \sum_{i=1}^{m} K(X) + \sum_{i=m+1}^{p} U_{i} g_{i}(X) \right|^{\frac{1}{2}}$$
 (9)

Здесь $\Gamma(X)$ —положительно определяемый функционал над множеством всех функций ограничения (2—6) поставленной задачи.

В процессе оптимального поиска значение $\Phi^{(j)}$ уменьшается, что приводит к сужению области квазидопустимости (7). В пределе, значительное число вершин $X_i^{(j)}$ содержится внутри гипосферы радпуса в и если $\Phi_i^{(j)}$ то $\mathfrak{s} = \mathrm{T}(X_i^{(j)}) \geqslant \mathfrak{o}$ и, следовательно, $\mathrm{T}(X_i^{(j)}) \geqslant \mathfrak{s}$. При этом гарантируется сходимость и процедура оптимизации прекращается.

На основании предложенного метода разработана программа на алгоритмическом языке «Фортран-4».

Для решения конкретной задачи становится необходимым построение исходного варианта, при котором заданной является следующая информация:

- потребность в топлине;
- —существующая структура и имеющееся второе топливное хозяйство у каждого потребителя:
- —минимальная и максимальная величины газового потока, нормальные показатели по приведенным затратам.

Для численной реализации предложенного мегода рассматривается одна подсистема ГС Армении.

В табл. І приведены обозначення искомых параметров топливопотребления рассматриваемой подсистемы.

Таблица 1

7.7				711070=411	
Погребители	Суточный расход газа	Суточный расход при недо- отпуске	Суточный расход мазута	Число дней недоотнуска газа в году	
Завод Комбинат Прочие	X ₁ X ₄ X ₇	X_3 X_5 X_8	X ₃ X ₆ X ₉	у ₁ У2 У3	

Подставляя исходную информацию в общую математическую модель (1—6), получаем следующую нелинейную задачу:

$$3(X) = 204,984 + 0.024(365 - y_1) X_1 + 0.024X_2y_1 +$$

$$+ 0.024(365 - y_2) X_4 + 0.024y_2X_5 + 0.024(365 - y_3) X_7 + 0.024y_3X_6 +$$

$$+ 0.029y_1X_5 + 0.011y_2X_6 + 0.018y_3X_6 + 0.019X,$$

$$(365 - y_1) X_1 + (365 - y_2) X_4 + (365 - y_3) X_7 + X_2y_3 + X_3y_2 +$$

$$+ X_8y_3 + X_3y_1 + X_6y_2 + X_6y_3 \geqslant 79451,$$

$$(365 - y_1) X_1 + (365 - y_2) X_4 + (365 - y_3) X_7 +$$

$$+ X_2y_1 + X_5y_2 + X_6y_3 \leqslant 65236,$$

$$(365 - y_1) X_1 + X_6y_3 + X_6y_3 \leqslant 65236,$$

$$(365 - y_1) X_1 + X_6y_3 + X_6y_3 \leqslant 65236,$$

$$(365 - y_1) X_1 + X_6y_3 + X_6y_3 \leqslant 65236,$$

$$(365 - y_1) X_1 + X_6y_3 + X_6y_3 \leqslant 65236,$$

$$(365 - y_1) X_1 + X_6y_3 + X_6y_3 \leqslant 65236,$$

$$(365 - y_1) X_1 + X_6y_3 + X_6y_3 \leqslant 65236,$$

$$(365 - y_1) X_1 + X_6y_3 + X_6y_3 \leqslant 65236,$$

$$(365 - y_1) X_1 + X_6y_3 + X_6y_3 \leqslant 65236,$$

$$(365 - y_1) X_1 + X_6y_3 + X_6y_3 \leqslant 65236,$$

$$(365 - y_1) X_1 + X_6y_3 + X_6y_3 \leqslant 65236,$$

$$(365 - y_1) X_1 + X_6y_3 + X_6y_3 \leqslant 65236,$$

$$(365 - y_1) X_1 + X_6y_3 + X_6y_3 \leqslant 65236,$$

$$(365 - y_1) X_1 + X_6y_3 + X_6y_3 \leqslant 65236,$$

$$(365 - y_1) X_1 + X_6y_3 + X_6y_3 \leqslant 65236,$$

$$(365 - y_1) X_1 + X_6y_3 + X_6y_3 \leqslant 65236,$$

$$(365 - y_1) X_1 + X_6y_3 + X_6y_3 \leqslant 65236,$$

$$(365 - y_1) X_1 + X_6y_3 + X_6y_3 \leqslant 65236,$$

$$(365 - y_1) X_1 + X_6y_3 + X_6y_3 \leqslant 65236,$$

$$(365 - y_1) X_1 + X_6y_3 + X_6y_$$

$$(365 - y_2) X_4 + X_5 y_2 \le 21737,$$

$$(365 - y_3) X_5 + X_8 y_3 \le 41514,$$

$$5 \le X_1 \le 20,$$

$$60 = X_4 \le 75,$$

$$60 \le X_5 + X_6 \le 20,$$

$$88 \le X_7 + X_7 \le 150,$$

$$X_8 y_1 = 595,$$

$$0 \le y_1 \le 190,$$

$$X_8 y_2 = 4165,$$

$$X_9 y_1 = 190,$$

$$X_8 y_2 = 4165,$$

$$X_9 y_1 = 190,$$

$$X_8 y_2 = 4165,$$

$$X_9 y_1 = 190,$$

$$X_9 y_2 = 4165,$$

$$X_9 y_1 = 190,$$

$$X_9 y_2 = 4165,$$

$$X_9 y_1 = 4165,$$

$$X_9 y_2 = 4165,$$

$$X_9 y_1 = 4165,$$

$$X_9 y_2 = 4165,$$

$$X_9 y_2 = 4165,$$

$$X_9 y_3 = 4165,$$

$$X_9 y_4 = 4165,$$

$$X_9 y_5 = 4165,$$

$$X_9 y_5 = 4165,$$

$$X_9 y_7 = 4165,$$

$$X_9 y_8 = 4165,$$

$$X_9 y_8 = 4165,$$

$$X_9 y_8 = 4165,$$

$$X_9 y_9 = 4165,$$

$$X_9 y_$$

Приняты следующие первопачальные значения:

$$X_1 = 9.5;$$
 $X_2 = 1.0;$ $X_3 = 8.5;$ $X_4 = 74.0;$ $X_5 = 8.0;$ $X_6 = 65.0;$ $X_7 = 140;$ $X_8 = 10;$ $X_9 = 130;$ $Y_1 = 180;$ $Y_2 = 120;$ $Y_3 = 180.$

Минимальное значение целевой функции составляет 1880 т. р.

Результаты реализации математической модели оптимизации на ЭВМ ЕС-1020 одной рассматриваемой подсистемы приведены в табл. 2.

Tabanna 2

(15)

Потребн- тиль	Cytos cocos Ros	газ при педо. ва при отпуске	резервное ма- толлива (ма- зут) и пер.	Число суток и до отпуска гала н	Существующая структура емко-ш ВТХ	Фактический расход мазута, <i>т</i>	Оредлагаемая струк- тура емкости ВТХ	Полученные опти- мыльные расходы мазута, т
Завол Комбинат Прочие	8,1 72,27 138,3	0.89 8,7 9,2	7.21 65,6 125.6	182 120 179	2×250 2 .1000 2 (2×400) 1 7×(2×100) 2×250	719 6351 4875	1×500 1×1000 3×(1 250) 1 500	1102 661 5 18892

Полученные результаты свидетельствуют о правильном выборе метолики.

Выводы

- 1. Оптимальное топливопотребление при заданном уровие надежвости необходимо рассмотреть как задачу типа ислинейного программирования.
- 2. Количественное и качественное исследования на ряде конкретвых примеров показали универсальность и перспективность применяе-

мого метода «флексимплекс» к решению множества задач из области больших систем энергетики.

3. При увеличении размерности задачи необходимо пользоваться идеей декомпозиции.

енин мау

Поступило 5.Х.1977

Վ. Ս. ԽԱՉԱՏՐՅԱՆ, Ա. Վ. ԹԵՄՈՒՐՋՅԱՆ, Մ. Ա. ԲԱԼԱԲԵՍՅԱՆ, Յու. Ա. ՂԱՁԱՐՅԱՆ, Խ. Դ. ԴԵՄԻՐՃՅԱՆ, Ջ. Ա. ԲԱԼԱՍԱՆՅԱՆ

ՄԵԾ ԷՆԵՐԳԱՀԱՄԱԿԱՐԳԵՐԻ ԲՆԱԳԱՎԱՌԻ ՄԵԿ ՄԱԹԵՄԱՏԻԿԱԿԱՆ ԾՈԳԵԼԻ ԿԱՌՈՒՑՄԱՆ ՄԱՍԻՆ

Ամփոփում

Հոդվածում րհրված է դազամատակարարող համակարգերի պահեստային վառելիրատնտեսունյան օպտիմալ ծավալների որոշման մանեմատիկական մոդելը, ելնելով համակարգին արված հուսալիունյան մեծունյունից, ըստ բերված ծախսերի նվաղագույն չափանիշի։

Որոգես մանեմատիկական ապարատ ըստրված է ֆլեքսիմպլեքս մենիոգը։ Մշակված է համապատասիան ալգորինն, «Ֆորտրան-4» լեզվով կազմված է ընդ-հանուր ծրագիր և լուծված կոնկրհա Թվային օրինակ մի եննահամակարգի համար։

ЛИТЕРАТУРА

- Костина В. М., Рилс Г. С. Методические вопросы оценки регервных топливных хозяйств газифицированных потребителей и их место в системе обеспечения издежности топливоснабжения. «Экономика ограничения и управление в газовой промышленности», 11, М., 1970.
- Хачатрян В. С. Метод расчета оптимального режима эпергосистем с тепловыми станциями при учете режимных ограничений. «Электричество», 2, 1971.
- Темурджяк А. В. Оптимизация структуры ЭЭС в динамике ее развития. «Экономические вопросы управления энергосистемой» (тез. докл.), Лепинград—Ереван, 1974.
- 4. Химмелоблиу Д. Прикладное нелинейное программирование. Изд. «Мир», М., 1975.

Տեխնիկական գիտութ, ուեբիա

XXXI. № 3. 1978 Серия технических наук

МАШИНОСТРОЕНИЕ

С. Р. КАРАПЕТЯН

ГАРМОНИЧЕСКАЯ ЛИНЕАРИЗАЦИЯ НЕЛИНЕИНОГО БЛОКА «ЛЮФТ С УПРУГОСТЬЮ И СУХОЕ ТРЕНИЕ»

Известно, что нелинейные характеристики механической передачи (МП) (люфт и сухое трение) могут существенно влиять на динамику следящих систем (СС) [1, 2]. Учет влияния этих факторов особенно необходим при высоких требованиях по точности и качеству слежения. Ввиду высокого порядка дифференциальных уравнений, описывающих динамику СС, гармоническая линсаризация является практически единственным аналитическим методом, пригодным для решения указаиной задачи. При этом, в силу особенностей структуры МП, возникает исобходимость в гармонической линеаризации нелинейного блока (НБ) «люфт с упругостью и сухое трение», чему и посвящена данная работа.

Структурное описание люфта совместно с упругостью однозначной нелинейной характеристикой

$$M_{\parallel} = \begin{bmatrix} 0, & \text{при } |\Delta\varphi_{\parallel}| \leqslant b \\ C(|\Delta\varphi_{\parallel}| - b) \operatorname{sign} \Delta\varphi_{\parallel}, & \text{при } |\Delta\varphi_{\parallel}| > b \end{bmatrix}$$
 (1)

где M_0 — момент, возникающий и МП при его скручивании; C – коэффициент жесткости МП; b половина зоны люфта МП; $\Delta \varphi_{\rm R} = \varphi_{\rm RI} - \varphi_{\rm R2}$ разность углов поворота ведущего и ведомого элементов МП; а также идеализированная характеристика момента сухого трения $M_1 = M_{
m r0} \, {
m sign} \, \phi_{
m H2} \,$ являются наиболее простыми и удобными для инженерных расчетов [1]. При этом структура МП имеет вид. представленный на рис. 1, гле $J_{\rm u}$ — момент инерции нагрузки.

Так как зависимость между величинами Др, и опр нелинейная, исследование периодических процессов в СС с помощью коэффициентов сармонической линеаризации типовых нелинейностей $M_{\pi}(\phi_{\pi})$ и $M_{\tau}(\phi_{\pi})$ представляет значительные трудности. Вместе с тем, подобное исследование можно существенно упростить, оперируя коэффициентами гармонической линеаризации НБ при условии, что линейная часть системы обладает хорошими фильтрующими свойствами.

Согласно известной методике [3], определив, в предположении $\Delta z = A \sin z$ (где $\phi = \omega t$), параметры выходного сигнала F и выделив его первую гармонику разложения в ряд Фурье, можно получить следующие аналитические выражения для коэффициентов гармонической линеаризации ПБ:

$$q(A) = q_{\tau}(A) - \frac{2M_{\tau 0}^2}{A^2 q_{\tau}(A)}$$
 (2)

$$q'(A) = \frac{4M_{10}}{\pi A} \sqrt{1 - \frac{\pi^2 M_{10}^2}{4A^2 q_1^2(A)}},$$
 (3)

тде нведено обозначение коэффициента гармонической линеаризации типовой ислинейной функции M_n ($\Delta \varphi_n$) [3]:

$$q_{\rm r}(A) = C - \frac{2C}{A} \left| \arcsin \frac{b}{A} + \frac{b}{A} \right| \sqrt{1 - \frac{b^2}{A^2}} \right|$$
 при $A > b$. (4)

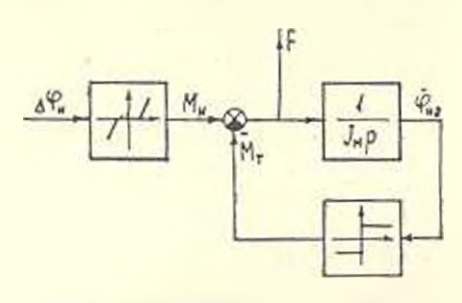


Рис. 1. Структурная схема МП.

Заметим, что выражения (2) и (3) получены в условиях замены промежуточного сигнала M_{\bullet} его первой гармоникой разложения в ряд Фурье. Несмотря на первый порядок линейного звена НБ, подобная замена практически не влияет на точность конечных результатов, так как функция M_{\bullet} ($\Delta \phi_{\rm h}$) однозначна, а сигнал M_{τ} не зависит от формы сигнала $\phi_{\rm h2}$ в интервалах постоянства знака последнего.

Отмеченные в [2] границы применимости метода гармонической линеаризации при учете трения в виде идеализированной характеристики в данном случае выражаются условием:

$$Aq_{\tau}(A) \geqslant 1.86M_{\tau 0}, \tag{5}$$

которое учитывает также наличие люфта с упругостью МП. Условие (5) позволяет провести дополнительную проверку конечных результатов исследования с помощью выражений (2)—(4), если для параметров периодического решения $\Delta \varphi_{ii}$ получаются действительные значения.

Таким образом, в работе получены коэффициенты гармонической линеаризации нелинейного блока «люфт с упругостью и сухое трение» (2), (3), позволяющие существенно упростить исследование периодических процессов и следящей системе. Предлагаемые рекомендации, в силу достаточно сильного ограничения (упрощенное представление

М_н и **М**_r), целесообразно использовать на этапе эскнэного проектирования, и в дальнейшем требуют уточнения методом математического или полунатурного моделирования полной структуры системы.

Поступило 7.11.1977

Ս. Ռ. ԿԱՐԱՊԵՏՑԱՆ

«ԲԱՑԱԿՆ ԱՌԱՆՁԳԱԿԱՆՈՒԹՅԱՆ ՀԵՏ ԵՎ ՉՈՐ ՇՓՈՒՄ» ՈՉ-ԳԾԱՅԻՆ ԲԼՈԿԻ ՀԱՐՄՈՆԻԿ ԳԾԱՅՆԱՑՈՒՄԸ

lk d dia thaid

Դիտարկվում են Հետևող Համակարդերի մեկսանիկական փոխանցումհերի ոչ-զծային բնունագրերը։

Ստացված են «բացակն առանձգականության հետ և չոր շփում» ոչ-գծալին թլոկի հարմոնիկ գծայնացման գործակիցները, ինչպես նաև մի պայման, որը բնութագրում է այդ գործակիցների կիրառման սահմանները։

ЛИТЕРАТУРА

- Рабинович Л. В. и др. Проектирование следящих систем. Изд. «Машиностроеине», М., 1969.
- 2. Рабинович Л. В. Границы применимости метода гармонической линеаризации при учете трепия в виде $M_{\rm rp}=M_{\rm rp}$ sign . Сб. научи. гр. МАИ «Динамические свойства нелинейных следящих приводов», вып. № 275, 1973.
- 3. Полов Е. П., Палетов И. П. Приближенные методы исследования нелицейных автоматических систем. Физматию, М., 1960.

ЗИВНИЧИТ ПОЗ ТРУПРЕВПРИТЕР ИЧИТЕТРИЗЕ ЗЕДЕЧИТЕР ИЗВЕСТИЯ АКАДЕМИИ НАУК АРМЯНСКОЙ ССР

Տեխնիկական գիտութ, սերիա

XXXI, No 3, 1978

Серия технических наук

ЭЛЕКТРОТЕХНИКА

Э. М. ДИЛАНЯН, В С ВАРПЕТЯН, А. А. МОМДЖЯН, А. П. ТАРАСЯН

МАТЕМАТИЧЕСКАЯ МОДЕЛЬ СИСТЕМЫ «АККУМУЛЯТОРНАЯ БАТАРЕЯ—ИМПУЛЬСНЫЙ ПРЕОБРАЗОВАТЕЛЬ ДВИГАТЕЛЬ ПОСТОЯННОГО ТОКА»

В настоящее время эксилуатируются и вновь проектируются различные электротехнические установки с аккумуляторным питанием, как, например, средства автономного электротранспорта и т. д. Совершенствование таких систем развивается как в направлении внедрения новых видов электрооборудования с улучшенными характеристиками, так и оптимизации параметров системы и режимов работы электрооборудования. Преобладающее большинство таких систем реализовано с шунтовыми и сернесными электродвигателями постоянного тока, питающимися от свинцово-кислотных аккумуляторных батарей (АБ) через импульсный преобразователь [1, 2].

Наличие АБ с переменными электрическими параметрами и изменяющимся энергоресурсом, мощность которой соизмерима мощности нагрузки, придает ряд особенностей выбору параметров оборудования, в частности, мошности электродвигателя, номинальной смкости АБ и передаточного числа механической передачи. Аналитический расчет таких систем связаи с известными грудностями, обусловленными наличием рекуррентных соотношений в ныражениях, связывающих входные и выходные величины свищово-кислотных АБ [1, 3, 5]. Наряду с этим, функционирование таких систем происходит под влиянием нагрузки вчешней среды, имеющей сложный и случайный характер [4].

В данной статье предлагается алгоритм расчета на ЦВМ автономной системы «свинцово-кислотные АБ—импульсный преобразователь двигатель постоянного тока». При составлении модели приняты следующие лонущения:

- 1. Прецебрегается илияние коммутационных процессов импульсного преобразователя на характеристики двигателя и АБ.
 - 2. К. п. д. импульсного преобразователя считается неизменным.

Для составления алгоритма расчета на ЦВМ модели редуктора в электродвигателя постоянного тока использованы следующие основные уравнения:

$$I_{\rm A} = \frac{M_{\rm as}}{c\Phi} = \frac{1}{c\Phi j} \left(\frac{M_{\rm p}}{\eta_{\rm p}} + 0.975 \frac{P_{\rm cr} + P_{\rm vex}}{n_{\rm p}} \right); \tag{1}$$

$$U_{\rm a} = c \Phi n_{\rm p} j + I_{\rm s} R_{\rm a} + \Delta U_{\rm m}; \qquad (2)$$

$$P_{\text{uex}} = a_0 (n_0 j)^2 + a_1 n_0 j; \tag{3}$$

$$P_{ct} = a_s (\Phi n_v j)^2 + a_s \Phi^* n_o j_s \tag{4}$$

где I_{-} , $U_{\rm a}$, Φ , $R_{\rm b}$, $M_{\rm bl}$, $\Delta U_{\rm m}$ — соответственно, ток, напряжение, магнитный поток, сопротивление якорной цепи, электромагиитный момент и падение напряжения на щетках электродвигателя; c — конструктивный коэффициент двигателя; $M_{\rm p}$, $n_{\rm p}$, j, $\eta_{\rm p}$ — входной крутящий момент, скорость вращения, передаточное число и к. п. д. редуктора; $P_{\rm mex}$, $P_{\rm cl}$ — механические потери и потери в стали двигателя; $m_{\rm bl}$, $m_{\rm cl}$, m

Задаваемое внешней средой значение крутящего момента $M_{\rm p}$ при формируемой скорости $n_{\rm p}$ поступает на вход редуктора. Производится расчет к. п. д. редуктора $\tau_{\rm c}$ и момента на налу двигателя. Когда момент на его валу оказывается больше допустимого максимального момента $M_{\rm m}$, следует команда на уменьшение ускорения, которая подается на вход блока внешней среды и расчет начинается запово, а если $M_{\rm m}$, по уравнениям (1)—(4) рассчитываются $P_{\rm mex}$, $P_{\rm cr}$, $I_{\rm d}$, $U_{\rm d}$, а также значение потребляемой электродвигателем мощности $P_{\rm p}$, которая при шунтовом двигателе со стабилизированным потоком рассчитывается по формуле:

$$P_0 = U_n I_s + R_s I_s^2,$$

где R_{\bullet} . I_{\bullet} — сопротивление и ток обмотки возбуждения двигателя.

При сериесном электродвигателе для нахождения требуемого значения потока возбуждения организуется следующий поиск.

Задается произвольное значение потока возбуждения Φ_1 из области его допустимых значений и рассчитываются параметры $P_{\text{мех}},\,P_{\text{ст}},\,I_{\text{A}},\,U_{\text{2}}.$ Согласно величине I_{3} по характеристике намагничения машины определяется соответствующее значение потока Φ_2 . Далее производится сравнение значений Φ_1 и Φ_2 . Если $\Phi_2 < \Phi_1$, то задаваемое значение Φ_1 уменьшается на величину шага $\Delta\Phi$, а если $\Phi_2 > \Phi_1$, то Φ_1 увеличивается на $\Delta\Phi_1$ одновременно рассчитывается новое значение шага $\Delta\Phi_{t+1} = \frac{\Delta\Phi_t}{2}$. При достижении равенства

 $\Phi_2 = \Phi_1$ или выполнении условия $\Delta \Phi \ll \varepsilon_{\Phi}$, где ε_{Φ} величина погрешности поиска значения потока возбуждения, поиск прекращается, и найденное значение потока возбуждения подается на блок расчета тока двигателя I_{\bullet} . Аналогично рассчитываются U_{\bullet} и величина потребляемой мошности $P_0 = U_{\bullet}I_{\bullet}$.

Алгоритм расчета рассматриваемой системы на ЦВМ приведен на рис. 1. Обведенная на рис. 1 пунктирной линией часть представляет алгоритм нахождения величины Ф при сериесном электродвигателе.

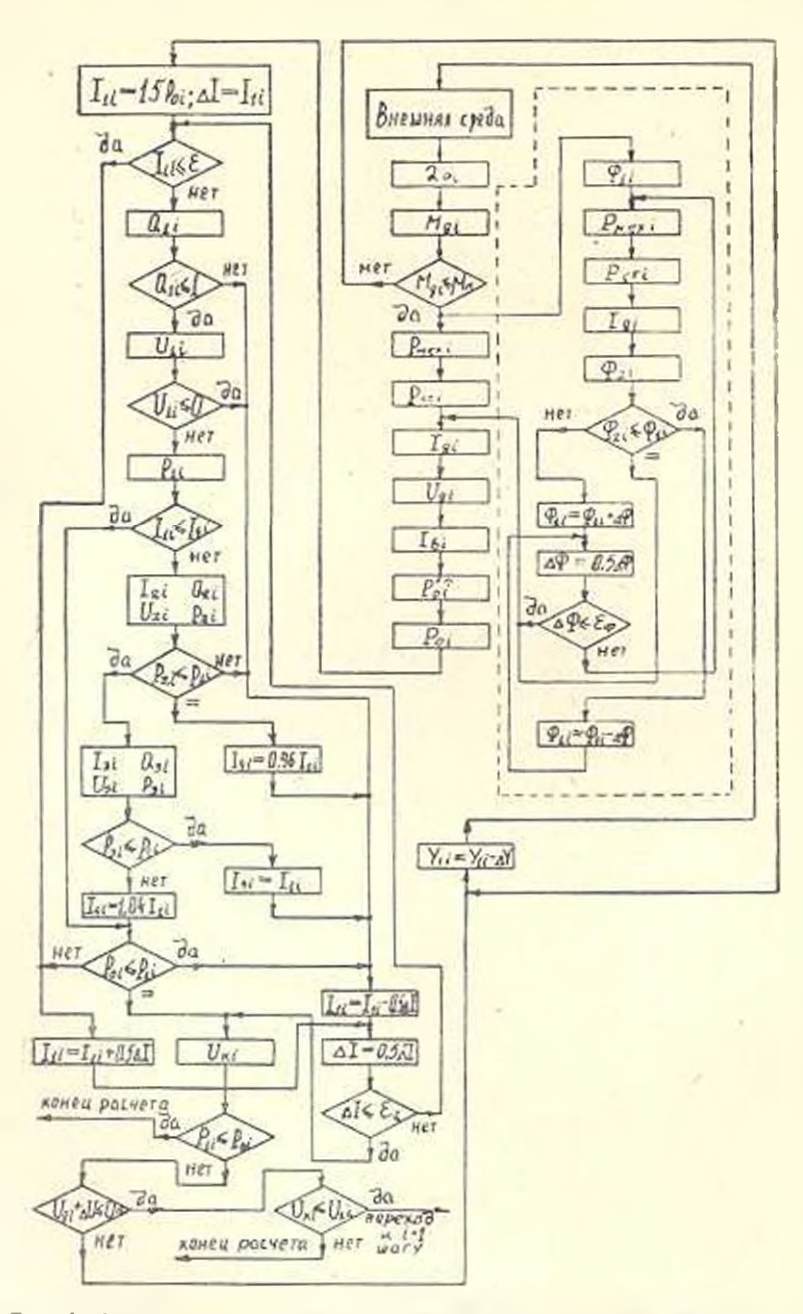


Рис. 1. Алгоризм расчета на ЦВМ модели системы "АБ —импульсный преобразователь — дингатель постоянного тока".

Вольт-амперные и емкостные характеристики свинцово-кислотных АБ с использованием результатов работ, проведенных в лаборатории электромобиля ЕрПИ [3, 5], аппроксимированы следующими уравнениями;

$$U_{1i} = 13 - (0.6 \exp(-20Q_{1i}) - 0.465 + + (0.768i(1.038 - Q_{1i}))) B_{1i} - 1.371Q_{1i} + U_{n2i};$$

$$U_{n2i} = U_{n1(i-1)} - (0.21B_{1i} + 0.17(1 - \exp(-5.56B_{1i})) +$$
(5)

$$+ U_{03(i-1)}) (1 - \exp(-(0.0015 + 0.015B_{1i}) T_{1i}));$$
 (6)

$$U_{\text{nl}i} = U_{\text{nl}(i-1)} - (0.21B_{1i} + 0.17(1 - \exp(-5.56B_{1i})) +$$

$$-U_{nl(l-1)})(1-\exp(-(0.003+0.03B_{1i})T_{1i})); (7)$$

$$Q_{11} = \frac{B_{11} T_{11}}{7200} + \frac{Q_{2}}{Q_{n}}, \tag{8}$$

где U_{1t} — напряжение АБ при t-том шаге разряда, B: Q_{0} — номинальная емкость АБ, A-час: I_{1t} — значение тока разряда АБ, A: T_{1t} — время разряда АБ током I_{1t} , cek: $B_{1t} = \frac{I_{1t}}{Q_{0}}$ — относительное значение тока разряда АБ; Q_{1t} — отданная до t-го шага разряда емкость АБ. A-часть Q_{1t} — отданная до Q_{1t} — отданная разряда вымость отданная до Q_{1t}

АБ, $A \cdot час$; Q_H — отданная до (i+1) шага разряда емкость АБ в относительных единицах; U_{n2l} — напряжение поляризации АБ при i-том шаге разряда АБ, B, которое рассчитывается по формуле (6); $U_{n1(l-1)}$ — среднее значение напряжения поляризации при (i-1) шаге разряда АБ.

При переходе к (i+1)-ому шагу разряда АБ, среднее значение напряжения поляризации $U_{\rm nll}$ за i-ый шаг рассчитывается по формуле (7).

Допустимое конечное напряжение АБ $U_{\rm con}$ в зависимости от силы разрядного тока I_1 для свинцово-кислотных АБ, описываемых уравиениями (6)—(8), аппроксимировано следующим выражением (для шестибаночных аккумуляторов):

$$U_{\text{KOH}} = 9.85 - 0.3437B_1 + 1.05 \exp(-5.56B_1), B.$$
 (9)

На основании вышепринеденных уравнений составлен алгоритм расчета напряжения и тока AE в зависимости от потребляемой импульсным преобразователем и двигателем мощности $P_0 = \frac{P}{T_0}$, где η_0 к. п. д. импульсного преобразователя. При поиске значений мощности P_0 тока AE I_1 и наприжения U учитывается параболическая форма характеристики $P_0 = I(I)$ источника ограниченной мощности [6], и минимальное значение тока определяется следующим образом.

Задается максимально возможное значение тока АБ, равное $I_{1i} = 15P_{0i}$, где P_{0i} — текущее значение потребляемой импульсным преобразователем и двигателем мощности. По формуле (8) рассчитывается отданная до (i+1) шага емкость АБ Q_{1i} . Если $Q_{1i} > 1$, то задаваемое

значение тока I_{11} уменьшается с шагом, равным $I_{11}2^{-n}$, где n—номер шага пейска по мощности AB, и расчет начинается заново; если $Q_{11} \leqslant 1$, по формуле (5) рассчитывается U_{11} и при $U_{11} > 0$ находится отдаваемая AB мощность P_{11} . При $U_{11} \leqslant 0$ аналогично следует команда на уменьшение тока AB I_{11} . Затем проверяется выполнение условия $I_{11} \leqslant I_{41} = 0.25 Q_{11}$, которое сеответствует рабочему участку

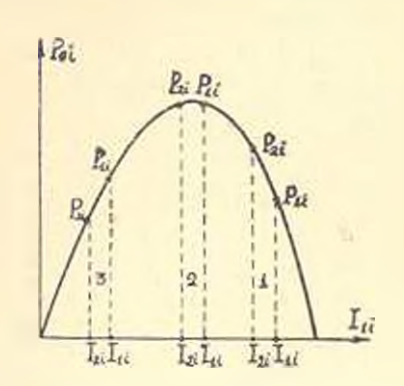


Рис. 2. Мошностная характеристика свинцовой АБ при данном зарядовом состоянии.

мощностной характеристики АБ. При выполнении этого условия про- изводится переход к сравнению мошностей P_{11} . Если условие P_{12} . Если условие P_{13} и P_{14} . Если условие P_{14} и е выполняется, то необходимо найти значение тока АБ, соответствующее значению максимально отдаваемой при данном зарядовом состоянии мещности АБ. Здесь несбходимо оценить значение приращения мощности АБ при изменении его тока. Задается значение $I_{24} = 0.96I_{14}$ и по формулам (5) - (8) рассчитываются соответствующие значения Q_{24} , Q_{24}

Далее происходит переход к сравнению мониностей P_2 и P_{12} . Возможны следующие три случая (рис. 2):

- 1. $P_{2l} > P_{1l}$. Следует команда на уменьшение тока АБ, и расчет мощности АБ начинается заново с новым значением тока АБ I_{1l} .
- $2.\ P_{2\ell}=P_{1\ell}.\ B$ качестве тока, соответствующего максимально отдаваемой AB мощности, принимается значение, равное $I_{4\ell}=0.96I_{1\ell};$ следует команда на уменьшение тока AB, и расчет мощности AB начинается заново с новыми значениями $I_{1\ell}$ и $I_{4\ell}$.
- 3. $P_{2i} < P_{1i}$. Задается $I_{3i} = 1.04I_{1i}$; по формулам (5)—(8) рассчитываются значения Q_{3i} , U_{3i} , P_{3i} и происходит переход к сравнению мощностей P_{3i} и P_{1i} . В этом случае возможны следующие два варианта;
- За. $P_{3t} \leqslant P_{1t}$. Принимаем $I_{4t} = I_{1t}$; следует команда на уменьшение тока АБ и расчет мощности АБ начинается запово с ковыми значениями I_{1t} и I_{4t} .
- 36. $P_{3l}>P_{1l}$. В качестве тока I_{4l} условно принимается значение, равное $I_{0}=1.04I_{1l}$. и происходит переход к сравнению мощностей P_{1l} и P_{0l} . При $P_{0l}< P_{1l}$ следует команда на уменьшение тока I_{1l} , а при $P_{0l}>P_{1l}$ на увеличение I_{1l} . Расчет требуемой мощности АБ продолжается до равенства мощност й $P_{0l}=P_{1l}$ или до выполнения условия $\Delta I < \varepsilon_{1l}$ где ΔI шаг изменения тока АБ; ε_{1} величина погрешности плиска тока АБ.

При выполнении одного из этих условий по формуле (9) рассчитывается конечно допустимое напряжение АБ U_{ul} . Затем проверяется выполнение условия $P_{tl} < P_{vl}$. Исли оно выполнено, следует команда

окончания расчета, а если нет — проверяется выполнение условия $U_{\rm al} + \Delta U \ll U_{\rm H}$, что связано с максимальным значением скважности импульсного преобразователя, где ΔU — падение напряжения в питающей непи двигателя.

При невыполнении этого условия следует команда на уменьшение ускорения двигателя; новое значение ускорения V_{11} подается на блок внешней среды и расчет I-го шага начинается заново.

При выполнении этого условия происходит переход к проверке $U_{\rm m} < U_{\rm H}$. Если это условие выполняется, то следует команда окончания расчета. в противном случае происходит переход к $(\tau+1)$ шагу расчета.

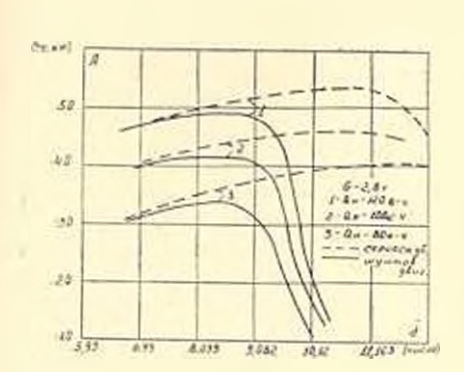


Рис. 3. Расчетная зависимость полезно-произведенной работы от передаточного числа транемиссии ЭМ при различных номинальных емкостях АБ для двух видов двигателей постоянного тока.

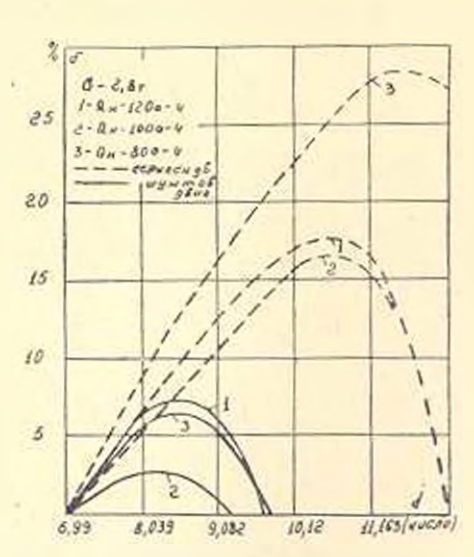


Рис. I. Расчетная зависимость относительного увеличения дальности пробега от передаточного числа трансмиссии ЭМ при различных номинальных смкостях АБ для двух видов двигатетелей постоинного тока.

По данному алгоритму составлена программа на ФОРТРАН-IV ■ на ЦВМ ЕС-1022 произведен расчет некоторых оптимальных параметров оборудования электромобиля. В качестве примера на рис. 3. 4 приведены зависимости полеэно-произведенной работы и относительного увеличения дальности пробега от передаточного числа трансмиссии / для электромобиля модели ЭМ-ЕрПИ-1 полным весом 2.8 г. движущегося по следующему ездовому циклу: разгон электромобиля с максимальным допустимым ускорением до скорости 39 км/час; движение с установившейся скоростью и замедление до остановки при прохождении общего пути, равного 1 км; стоянка 30 сек. Далее цикл движения повторяется.

Полученные расчетные данные удовлетворительно согласуются с результатами дорожных испытаний электромобиля 9M-EpIIИ-1 с сериссными тяговыми двигателями [7]. При расчете относительного увеличения дальности пробега электромобиля в качестве базисной величины был принят пробега при j=6,999.

Из полученных результатов следует наличие оптимумов по дальности пробега и полезно-произведенной работы по *j* и их чувствительность в зависимости от номинальной емкости АБ. Кроме того, следует указать на необходимость управления магинтным потоком двигателей при их шунтовом возбуждении.

Еріні им. К. Маркса

Поступила 12.111.1977

t. v. меньянь, ч. и. чисчьянь, г. г. ипидань, н. 🐁 висинань

«ԱԿՈՒՄՈԼՅԱՏՈՐԱՅԻՆ ՄԱՐՏԿՈՑ-ԻՄՊՈՒԼՍԱՅԻՆ ԿԵՐՊԱՓՈԽԻՉ-ՀԱՍՏԱՏՈՒՆ ՀՈՍԱՆՔԻ ՇԱՐԺԻՉ» ՀԱՄԱԿԱՐԳԻ ՄԱԹԵՄԱՏԻԿԱԿԱՆ ՄՈԳԵԼԸ

Ամփոփում

Հոդվածում բերված են հարաբերակցություններ, որոնք նկարագրում են կապարային ակումոլյատորի, մեխանիկական փոխանցման, հասաատուն հոսանքի ղուղահեռ և հաջորդաբար դրգռման շարժիչների բնութադրերը։ Ավտանոմ համակարդի հետաղոտման համար հաշվի են առնված կապարային մարտերցների դինամիկական բնութադրերը՝ լարման կախվածությունը հոսանրից ու մամանակից և հղորության բնութադրերը։ Մշակված է ավտոնոմ համակարդի հաշվման ալդորիկմ, որի հիման վրա կաղմված է ծրադիր EC—1022 հաշվիչ մեբննայի համար։ Սրագրում հաշվի են առնված էլեկտրական շարժիչի հաստատուն և փոփոխական կորուստները, մեխանիկական փոխանցման կորուստները և կապարային մարտկոցի շահագործման ռահմանափակումները։ Սրագիրն օղտագործված է էլեկտրոմորիի որոշ օպտիմալ պարամետրերի հաշվման համար։ Հաշվարկի արդյունքները բավարար ձշտությամը համընկերում են փորձնական ավյալների հետու

ЛИТЕРАТУРА

1. Дасоян М. А., Агуф Н. А. Современная теория свинцового аккумулятора. Изд. «Энергия», Л., 1975.

2 Купрюхин А. И. Истандование латономных замкнутых систем регулиропания, получающих питание от экергетических баторей. Авт. дис. на соиск уч. стей кана, техн. наук. Новосибирск, 1974.

 Агабабян Э. М., Асабабян Ю. В., Варпетян В. С. К вопросу внялитического описания аккумуляторной батарен для электромобиля. Межвул. со. научи. тр. «Электротехника», сер. XIII, пыр. 2. Изд. ЕрПП. Ереван. 1976.

- Налуаджян Т. А., Перельман Н. А. Математическое моделирование внешней среды транспортных средств. «Известия АН АрмССР» (серия Т. Н.), т. XXVIII, № 5, 1975.
- Варлетян В. С. Исследование состояния аккумулятора. Межнуз. сб. научн. тр. «Электротехника», сер. XIII, вып. 2. Изд. ЕрПИ. Ерекан. 1976.
- Агабабян Э. М. Агабабян Ю. В., Варпетян В. С. Влияние зарядового состояния аккумуляторной батарен на динамические характеристики электромобиля. Межвуз. сб. науч. тр. «Электротехника», сер. XIII, вып. 3. Изд. ЕрПИ, Ерепан, 1976.
- 7. Материалы научно-технического совещания по проблеме электромобилостроения. «Айастан», Ерепан, 1974.

24844446 002 948044844644 440966484 869644944 ИЗВЕСТИЯ АКАДЕМИИ НАУК АРМЯНСКОЯ ССР

Տեխնիկական գիտութ, սեբիա

XXXI, № 3, 1978

Серия технических наук

ЭЛЕКТРОТЕХНИКА.

Б. М. МАМИКОПЯН, Л. С. ТОНОЯН

РАСЧЕТ МАГНИТНОГО СОПРОТИВЛЕНИЯ ФЕРРОМАГНИТНОГО ШАРОВОГО ЭКРАНА

В электромагинтной технике широко применяется ферромагнитный шаровой экран в качестве как экранирующего от внешних магнитных полей элемента, так и самостоятельного узла различных устройств. Однако отсутствуют теоретические работы по исследованию его магиплопроводящих характеристик. В настоящей статье определяется комплексное магнитное сопротивление ферромагнитного шароного экрана. Которое он оказывает переменному (синусопдальному) магнитному потоку.

Исходиыми данными для расчета являются: внешний R и внутренний r радиусы, а также материал экрана, т. с. его удельное комплексное магнитное сопротивление

где 🐅 🔊 актинная и реактивная его состанляющие.

Если между точками a и b (рис. 1) приложено магнитное напряжение \dot{F} , под действием которого через экран проходит поток Φ , то комплексное магнитное сопротивление Z шарового экрана, равное

$$Z=\frac{\dot{E}}{\dot{\Phi}}.$$

Для определения Z выделим из шарового экрана элемент, заключенный между двумя конусами, вершины которых расположены в центре шара, осн совмешены с осью a-b, а углы при вершине осевых сечений равны, соответственно, 2(z+dz) и 2z. Осевое сечение данного элемента показано на рис. 2 жирными линиями. Его магнитное сопротивление в направлении силовых линий поля равно

$$dZ = \hat{\gamma}_z \frac{dl}{S} \tag{1}$$

Поскольку толщина стенки экрана намного меньше его раднусов, можно допустить, что эквивалентный поток протекает через среднюю сферу и поэтому длина dl дуги элемента равна

$$dl = \frac{R + r}{2} da.$$

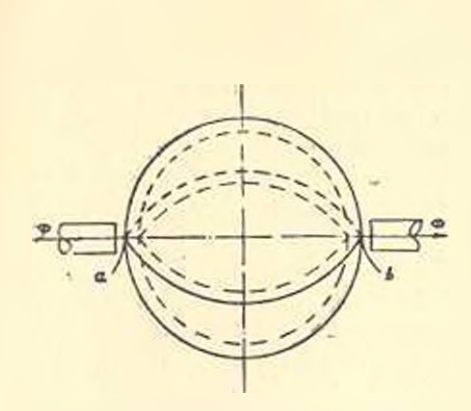


Рис. 1. Шаровой экран с потокоподнодящим стержнем.

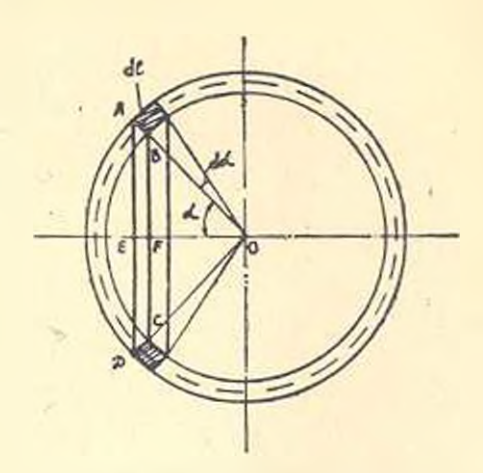


Рис. 2. Элемент шарового экраин.

Поперечное сечение элемента S_{α} , зависящее от α , представляет собой боковую поверхность усеченного конуса ABCД, в каждой точко которой поток перпендикулярен к этой поверхности:

$$S\alpha = \pi \cdot AB(AE + EF).$$

 \mathcal{N} читывая, что AB=R-r, AE=R $\sin \alpha$, BP=r $\sin \alpha$, получим:

$$S_a = \pi (R^2 - r^2) \sin \alpha.$$

Подставляя значения dl и S_{-} в выражение (1), получим магнитное сопротивление элемента экрана:

$$dZ = \frac{r_Z}{2 - (R - r)} \frac{d\sigma}{\sin \sigma} \tag{2}$$

Для определения общего сопротивления Z экрана необходимо интегрировать выражение (2) в пределах $0 \leqslant z \leqslant \pi$. Однако, этот интеграл будет равен бесконечности, т. к. в точках a и b (т. е. для значений a=0 и $a=\pi$) $S_a=0$. Физически это означает, что в группе последовательно включенных сопротивлений имеется такое, величина которого равна бесконечности, и тогда, независимо от значений остальных сопротивлений, эквивалентное сопротивление группы будет равно бесконечности. В действительности этого нет. т. к. поток Φ входит в экраи не через точку a, а через определенную поверхность экраиа вокруг этой точки. В каждом конкретном случае плошадь указанной по-

верхности зависит как от конструкции и размеров потокоподводящего стержия, так и от величины воздушного зазора между стержнем и экраном, т. к. от последней зависит величина потока рассеяния. Кроме того, необходимо учесть, что в конечной части потокоподводящего стержия силовые линии магнитного поля смещаются от оси стержня к его периметру (рис. 3), стремясь выбрать путь наименьшего сопротив-

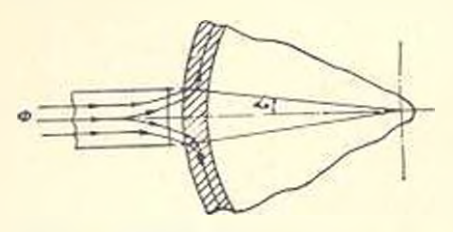


Рис. 3. Приближенная картина магинтного поля у входа в экран.

ления. Указанные обетоятельства позволяют допустить, что поток Ф входит в экран по периметру стержня (при небольших величинах зазора), поэтому начальное значение угла а будет

$$a_0 = \arcsin \frac{d}{2R}$$
.

где d — диаметр стержия.

Поскольку поток через экран общий, а на его пути сечение S., минимальное, то в этом сечении нидукция максимальна и равна

$$B_{-11} = \frac{\Phi}{-(R^2 - r^2)\sin \alpha_0} = \frac{2R\Phi}{-d(R^2 - r^2)}$$
(3)

Если параметры экрана выбраны такими, что значение B_{max} , рассчитанное по (3), не выходит за верхний предел линейного участка кривой намагничивания материала экрана, то значения ϱ_R и ϱ_χ можно считать постоянным для всех участков экрана [2]. Учитывая также, что конструкция экрана симметрична, получим его магнитное сопротивление:

$$Z = \frac{2\epsilon_R}{2\pi (R-r)} \int_{-\infty}^{\infty} \frac{d\alpha}{\sin \alpha} = \frac{\epsilon_R}{\pi (R-r)} \cdot \ln \frac{1}{\log \frac{\alpha_0}{2}}$$

Выражая $\operatorname{tg} \stackrel{4}{=}$ через $\sin \alpha_0$ и $\cos \alpha_0$ и учитывая, что обычно $4R^2 \gg d^2$, окончательно получим:

$$Z = \frac{\dot{\rho}_Z}{\pi (R - r)} \ln \frac{4R}{d} \,. \tag{4}$$

Формулу (4) можно использовать при расчете и конструировании магнитного шарового экрана Рассмотрим пример ее применения. Пусть требуется конструировать шаровой экран со следующими данными; R=0.04 м; d=0.008 м; $Z \le 4 \cdot 10^6$ 1/гн. Необходимо определить толщину стенки экрана.

В качестве материала для экрана выбираем сталь 35. Из зависимостей удельных магнитных сопротивлений от величины индукции для стали 35 [3] находим значение и ρ_X на линейном участке кривой намагничивания: $\rho_X = 22 \cdot 10^2 \, \text{м/гн}$ и $\rho_X = 32 \cdot 10^2 \, \text{м/гн}$.

Согласно (4), модуль сопротивления экрана

$$Z = \frac{1}{\pi} \frac{\overline{\varrho_R^2 + \varrho_X^2}}{\pi (R - r)} \ln \frac{4R}{d},$$

откуда находим толщину стенки:

$$R = r = \frac{10^{2} \cdot 1}{3.14 \cdot 4 \cdot 10^{8}} \cdot \ln \frac{4 \cdot 0.04}{0.008} = 9.25 \cdot 10^{-4} \text{ M}.$$

Толщину стенки выбираем равной 0.001 м

Найдем допустимую величину потока Φ , при которой индукция и наиболее малом сечении экрана еще не выходит за пределы линейной области. Для стали 35 это значение индукции (амплитудное значение) равно $B_{\rm max} = 0.5~m.s.$ [3].

Допустимое амплитудное значение потока определяем на формулы (3):

$$\Phi_{\text{max}} = \frac{2d (R^2 - r^2)}{2R} B_{\text{max}} = 1,24 \cdot 10^{-3} B.$$

Проведенные авторами экспериментальные исследования магнитных шаровых экранов подтвердили хорошее соответствие полученных формул практике.

Ленинаканский фил ЕрПП им. К. Маркси

Поступило 20.18.1977

Ք. Մ. ՄԱՄԻԿՈՆՅԱՆ, Լ. Ս. ՏՈՒՈՅԱՆ

ՖԵՐՈՄԱԳՆԻՍԱԿԱՆ ԳՆԳԱԶԵՎ ԷԿՐԱՆԻ ՄԱԳՆԻՍԱԿԱՆ ԴԻՄԱԳՐՈՒԹՅԱՆ ՀԱՇՎԱՐԿԸ

Առաջարկված է ֆերոմադնիսական դնդաձև էկրանի կոմպլեքս մագնիսական դիմադրության հաշվարկի մեթեոդը այն դեպքի համար, երբ որպես հոսքամատուցող հարմարանք օգտագործվում է կլոր կարվածքով և հայտնի տրամագծով ձողը։ Ստացված բանաձևերը կարելի է օգտագործել դնդաձև էկրաններ նախագծելիս։ Բերված է Լկրանի պատի հաստության հաշվարկի օրինակ։

ЛИТЕРАТУРА

- Буль Б. К. Основы теории и расчета магнитных цепей. Изд. «Эвергия», М., 1964, с. 54—55.
- 2. Куликовский Л. Ф., Заринов М. Ф. Индуктивные преобразователи перемещения с распределенными параметрами. Изд. «Энергия», М., 1966. с. 12.
- 3. Рашкович М. П. и др. Индуктивные преобразователи для автоматизации металлорежущих станков. Изд. «Машиностроение», М., 1969, с. 91.

Տեխնիկական գիտութ, սերիա

XXXI. № 3. 1978 Серия технических наук

ГИДРАВЛИКА

в. о. токмалжян

О ГИДРАВЛИЧЕСКОМ РАСЧЕТЕ КАНАЛОВ С КРИВОЛИНЕЙНЫМ ДНОМ

Дифференциальное уравнение неравномерного медленио изменяюшегося движения жидкости в открытых руслах, имеющее вид

$$\frac{dh}{dl} = \frac{I_c - \frac{Q^2}{\omega^2 C^2 R} \left(1 - \frac{\alpha C^2 R}{g} \frac{\partial \omega}{\partial l}\right)}{1 - \frac{\alpha Q^2}{g} \frac{\partial \omega}{\partial h}} \tag{1}$$

(обозначения общепринятые), относится к следующим условиям:

- a) уклон канала очень мал, что дает право принять $\sin \phi = \mathrm{i} g \phi = i_{\mathbf{q}}$. $\cos \varphi = 1$;
 - б) угол наклона дна по пути не меняется;
 - в) глубину потока можно принять по вертикали;
 - г) давление меняется по гидростатическому закону.

При расчете каналов с криволинейным диом эти условия неприемлемы и необходимо вывести дифференциальное уравнение неравномерного движения жидкости в открытых руслах без указанных допушений.

Полный напор в произвольном сечении (рис. 1) будет:

$$H = z + h\cos\varphi + \frac{av^2}{2g} \pm \frac{1}{wv} \int \frac{u^2h'}{gR'} udw, \tag{2}$$

где z-вертикальное расстояние от дна канала до плоскости отсчета; плубина сечения потока в нормальном к движению направлении; h'—то же для произвольной точки живого сечения; ϕ —угол наклона дна; а коэффициент кинетической энергин; и-скорость произвольной точки; v-средняя скорость сечения; w-площадь живого сечения; R' раднус кривизны для произвольной точки сечения.

В формуле (2) последний член представляет отклонение давления от гидростатического, осредненное по всему сечению. Здесь и далее нерхний знак соответствует вогнутым, а нижний выпуклым профилям

Для точного определения последнего члена (2) необходимо иметь форму сечения, закон распределения скоростей по сечению и раднус кривизны дна. Однако, исходя из соображения, что обычно роль этого члена небольшая и в практических расчетах можно допустить некоторое приближенное определение его величины, что незначительно скажется на результаты расчетов, то заменив R' через раднуе кривизны дна R_0 [1], можно допустить равенство:

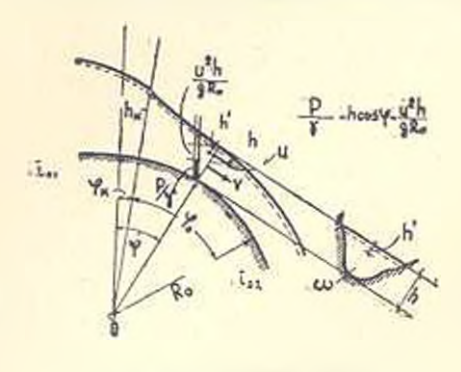


Рис. 1. Расчетная схема

$$\frac{1}{w\pi}\int \frac{u \cdot h'}{R_o} u d\omega = \pi \hbar \frac{h}{R_o} \cdot \frac{v^2}{2g} \quad (3)$$

где k - коэффициент коррекции, точное значение которого зависит от вышеуказанных факторов (при прямоугольной форме сечения и равномерном распределении скоростей легко получить 2k = 1.0, а при треугольной эпюре скоростей—2k = 0.8).

Нам кажется, что не имея более подробных исследований, для практических расчетов можно принять $\kappa=1.0$. К такому выподу можно прийти и тогда, если h' заменить средним значением h/2 и принять его за постоянную в процессе интегрирования.

Таким образом, полный напор сечения можно выразить:

$$H = z + h \cos \varphi + \frac{\alpha v^2}{2g} \left(1 \pm k \frac{h}{R_0} \right)$$
 (4)

Дифференцируя (4) по длине пути, получим:

$$\frac{dH}{dl} = \frac{dz}{dl} + \cos\varphi \frac{dh}{dl} - h\sin\varphi \frac{d\varphi}{dl} + \frac{aQ^2}{2g} \frac{d}{dl} \left(\frac{1 \pm k \frac{h}{R_0}}{\omega^2} \right)$$

Учитывая, что:

$$\frac{dH}{dl} = -i = \frac{Q^2}{\omega^2 C^2 R}$$
 (*i* - гидравлический уклон)

181

$$\frac{dz}{dt} = -i_0 = \sin z$$
 ($i_0 = \text{геометрический уклон}$).

после некоторых преобразований получим:

$$\frac{dh}{dl} = \frac{\left(1 + h\frac{d\varphi}{dl}\right)\sin\varphi - \frac{Q^2}{\omega^2 C^2 R}\left[1 - \frac{\alpha C^2 R}{g\omega}\left(1 \pm k\frac{h}{R_0}\right)\frac{\partial\omega}{\partial l}\right]}{\cos\varphi - \frac{\alpha Q^2}{g\omega^3}\left[\left(1 \pm k\frac{h}{R_0}\right)\frac{\partial\omega}{\partial h} \mp \frac{k\omega}{2R_0}\right]} \tag{5}$$

Занисимость (5) является общим видом дифференциального уравнения неравномерного движения жидкости в открытых руслах, чем (1). В гидравлике встречается круг задач, описываемый этим уравнением. Рассмотрим частные случан (5) для ряда конкретных задач.

В случае, когда профиль дна канала представляет дугу окружности, то $dl = R_0 d\phi$ и тогда (5) примет вид:

$$\frac{dh}{dl} = \frac{\left(1 + \frac{h}{R_0}\right)\sin\varphi - \frac{Q^2}{\omega^2 C^2 R} \left[1 - \frac{\alpha C^2 R}{g\omega} \left(1 \pm k \frac{h}{R_0}\right) \frac{\partial \omega}{\partial l}\right]}{\cos\varphi - \frac{\alpha Q^2}{g\omega^3} \left[\left(1 \pm k \frac{h}{R_0}\right) \frac{\partial \omega}{\partial h} \mp \frac{k\omega}{2R_0}\right]}$$
(6)

Для призматического русла с прямоугольным сечением принимая за переменные угол φ и глубину h и учитывая, что $\varphi = bh$, Z = b + 2h,

$$R = \frac{h}{1+2\frac{h}{h}}$$
, $C = \frac{1}{n}R^2$, $\frac{\partial u}{\partial t} = 0$, $\frac{\partial u}{\partial h} = b$, из (6) получим:

$$\frac{dh}{d\varphi} = R_0 \frac{\left(1 + \frac{h}{R_0}\right) \sin \varphi - \frac{q^2 n^2}{h^{3+2y}} \left(1 + \frac{2h}{b}\right)^{1+2y}}{\cos \varphi - \frac{\alpha q^2}{gh^3} \left(1 \pm \frac{kh}{2R_0}\right)}$$
(7)

где q = Q/b.

Определение места критического сечения и значение критической глубины h_k (рис. 1) находим из системы (8):

$$\begin{cases}
\cos \varphi = \frac{\alpha Q^2}{g\omega^3} \left[\left(1 \pm \frac{kh}{R_0} \right) \frac{\partial \omega}{\partial h} \mp \frac{k\omega}{2R_0} \right], \\
\sin \varphi = \frac{Q^2}{\omega^2 C^2 R},
\end{cases} \tag{8}$$

который для прямоугольного сечения имеет вид:

$$\begin{cases}
\cos \varphi = \frac{aq^2}{gh^3} \left(1 \pm \frac{kh}{2R_0} \right), \\
\sin \varphi = \frac{q^2n^2 \left(1 + \frac{2h}{b} \right)^{1+2y}}{h^{3+2y}}.
\end{cases} (8)$$

Полученные значения φ_k и h_k являются исходными координатами аля построения кривой свободной поверхности в спокойном (до критического сечения) и бурном (после критического сечения) режимах движения.

Аналогичные преобразования уравнения (5) можно сделать для непризматических каналов. При пренебрежительно малых значениях h/R_0 уравнение (5) превращается в дифференциальное уравнение, приведенное в [2]. Интегрирование (5) на ЭВМ производится аналогичнометоду, приведенному в [2].

Пример. $Q=46.8~\text{м}^3/c$, b=6.0~м, $R_0=5.0~\text{м}$, $\varphi_0=0.4517$, $t_{01}=0.004$, $t_{22}=0.49$, n=0.017, $\sigma=1.1$. 2y=0.391, k=1.0, призматическое русло прямоугольного сечения.

Решая систему (9), получаем координаты начального сечения для дальнейших исчислений с учетом центробежных сил $\sigma_k=0.905$, $h_k=1.776$ м. При гидростатическом законе распределения давления эти величины будут $\sigma_k=0.004$, $h_k=1.896$ м.

Решая на ЭВМ уравиение (?), получим координаты кривой свободной поверхности и величину давления без учета и с учетом центробежных сил, которые приводятся в таблице.

								Таблица
0,05	0,1	0,15	0.2	0,25	0,3	0,35	0,4	0,45
0,25	0,5	0.75	0,99	1,23	1,48	1,71	1,95	2,17
1.69 1.80	1,61	1.53 1,63	1,16	1.39 1,48	1,33	1,27	1,22	1,17 1,24
1,69 1,80	1,60	1,51 1,61	1,43 1,52	1.35	1,27 1,35	1.20	1.13	1,06
0.96	0,83 0,98	0,70 0,85	0.58	0,46 0,60	0,34 0,47	0,23	0.11	0,00
	0,25 1,69 1,80 1,69 1,80 0,96	0.25 0.5 1.69 1.61 1.80 1.71 1.69 1.60 1.80 1.70 0.96 0.83	0,25 0,5 0,75 1,69 1,61 1,53 1,80 1,71 1,63 1,69 1,60 1,51 1,80 1,70 1,61 0,96 0,83 0,70	0,25 0,5 0,75 0,99 1,69 1,61 1,53 1,46 1,80 1,71 1,63 1,55 1,69 1,60 1,51 1,43 1,80 1,70 1,61 1,52 0,96 0,83 0,70 0,58	0,25 0,5 0,75 0,99 1,23 1,69 1,61 1,53 1,46 1,39 1,80 1,71 1,63 1,55 1,48 1,69 1,60 1,51 1,43 1,35 1,80 1,70 1,61 1,52 1,43 0,96 0,83 0,70 0,58 0,46	0,25 0,5 0,75 0,99 1,23 1,48 1,69 1,61 1,53 1,46 1,39 1,33 1,80 1,71 1,63 1,55 1,48 1,41 1,69 1,60 1,51 1,43 1,35 1,27 1,80 1,70 1,61 1,52 1,43 1,35 0,96 0,83 0,70 0,58 0,46 0,34	0,25 0,5 0,75 0,99 1,23 1,48 1,71 1,69 1,61 1,53 1,16 1,39 1,33 1,27 1,80 1,71 1,63 1,55 1,48 1,41 1,35 1,69 1,60 1,51 1,13 1,35 1,27 1,20 1,80 1,70 1,61 1,52 1,43 1,35 1,27 0,96 0,83 0,70 0,58 0,46 0,34 0,23	0,05 0,1 0,15 0,2 0,25 0,3 0,35 0,4 0,25 0,5 0,75 0,99 1,23 1,48 1,71 1,95 1,69 1,61 1,53 1,46 1,39 1,33 1,27 1,22 1,80 1,71 1,63 1,55 1,48 1,41 1,35 1,30 1,69 1,60 1,51 1,43 1,35 1,27 1,20 1,13 1,80 1,70 1,61 1,52 1,43 1,35 1,27 1,19 0,96 0,83 0,70 0,58 0,46 0,34 0,23 0,11

В таблице верхние строчки представляют значения при решении с учетом центробежных сил, а нижние—при гидростатическом законе распределения давления.

Выводы

- 1. При гидравлическом расчете каналов с криволинейным диом с небольшим радпусом кривизны за основу расчета нужно принять дифференциальное уравнение (5).
- 2. В уравнении (5), принебрегая h/R_0 , получаем приближенное дифференциальное уравнение для потоков с большим раднусом кривизиы.
- 3. Кривую свободной поверхности для призматического и непризматического участков с криволинейным диом удобно получить с помощью интегрирования (5) на ЭВМ, применяя в качестве координат центральный угол ф и глубину потока по нормали h.
- 4. Координаты критического сечения определяются, как корни системы (9).

ЕрПИ им. К. Маркса

Поступило 3.11.1978

4. 2. PRETURBUT

սոր ՀԱՏԱԿՈՎ ՋՐԱՆՑՔՆԵՐԻ ՀԻԳՐԱՎԼԻԿԱԿԱՆ ՀԱՇՎԱՐԿԻ ՄԱՍԻՆ

Ավփոփում

Ստացված է հեղուկի դանդաղ փոփոխվող անհավասարաչափ շարժման դիֆերենցիալ հավասարումը կոր հատակով հուների համար, հաշվի առնելով ճնշման փոփոխման շեղումը հիդրոստատիկ ճնշումից կենտրոնախուլս ուժեր թի պատճառով։

Տրված են այդ հավասարման մասնավոր ձևափոխումները ուղղանկյուն կտրվածքի պրիզմատիկ հուների համար և ԷՀՄ-ի միջոցով հավասարման ինտեղրման մեխողները։ Ստացված է կորի սկզրնական կետերը որոշելու հավասարումների սիստեմ։

Հոդվածի վերջում լուծված է նվային օրինակ և բերված են եղրակացու-Այուններ։

ЛИТЕРАТУРА

- 1. Чоу В. Т. Гидравлика открытых каналов. Стройиздат, М., 1969.
- Токмаджян В. О. К гидравлическому расчету плавных переломов открытых русел.
 «Изв. АН АрмССР (серия Т. Н.)», т. XXIX. № 3, 1976.

ДВАЦИЧЦЬ ПОД ЧЕЗПЕФАПЕСЬТЕ ЦЧИЛЬГЕЦАЕ ЗБОДЬЧИЛЬГ ИЗВЕСТИЯ АКАДЕМИИ НАУК АРМЯНСКОЙ ССР

Տեխնիկական գիտութ, սեբիա

XXXI, № 3, 1978

Серин технических наук

НАУЧНЫЕ ЗАМЕТКИ

Ю. В. ЧУЕВ, А. М. МЕЛКУМЯН, С. В АРУТЮНЯН, Г. Б. МУРАЛЯН

РЕШЕНИЕ ЗАДАЧИ ОПТИМИЗАЦИН ОРГСТРУКТУРЫ ННИ ПРИ ДОПОЛНИТЕЛЬНЫХ ОГРАНИЧЕНИЯХ

Характерной особенностью современных крупных НИИ является многотемность и наличие множества функционально различных подразделений, представляющих в совокунности довольно сложную структуру. От совершенства организационной структуры существенно зависят сроки и качество выполнения разработок и, в конечном итоге, эффективность деятельности НИИ.

Одной из задач совершенствования организационной структуры НИИ является группирование множества подразделений в соответствии с принятым критерием эффективности структуры. Эта задача схожа с возникающими в вычислительной технике и телефонии задачами компоновки элементов, связи между которыми заданы [1]. Критерием эффективности структуры при этом принимается максимум суммарных связей внутри групп элементов или минимум связей между группами.

Аналогичный критерий берется и в задачах административного разделения подразделений НИИ группирования лабораторий в отделы или отделы в отделения [2]. При этом ограничивается только число отделов в отделениях. Однако, необходимо учесть, что в матрице взаимосвязей имсются и «диагональные» связи, характеризующие степень самостоятельности лабораторий, тогда как для совершенствования оргацизационной структуры правильнее исходить из связей, отражающих взаимное сотрудиичество лабораторий в выполнении тематики.

В более общем случае структуры НИИ содержат отделения, сформированные из отделов и самостоятельные отделы, подчиняющиеся вепосредственно руководителю института.

Следовательно, постановка задачи будет такова. Целевая функния имеет инд:

$$\min S_b = \min \left[\sum_{i=1}^{N} \sum_{j=1}^{N} a_{ij} - \left(\sum_{k=1}^{K_1} \sum_{l=l_{k,1}}^{l_{k,2}} \sum_{j=l_{k,1}}^{l_{k,2}} a_{ij} - \sum_{k=1}^{K_1} \sum_{i=l_{k,1}}^{l_{k,2}} a_{li} + \sum_{K=K_1+1}^{K_2} a_{ii} \right) \right]$$

$$\left[\sum_{k=\overline{1,K_1}}^{N} \sum_{j=1}^{N} a_{ij} - \left(\sum_{k=1}^{K_1} \sum_{l=l_{k,1}}^{l_{k,2}} a_{lj} - \sum_{k=1}^{K_1} \sum_{i=l_{k,1}}^{l_{k,2}} a_{li} + \sum_{K=K_1+1}^{K_2} a_{ii} \right) \right]$$

$$\left[\sum_{k=\overline{1,K_1}}^{N} \sum_{j=1}^{N} a_{ij} - \left(\sum_{k=1}^{K_1} \sum_{l=l_{k,1}}^{l_{k,2}} a_{lj} - \sum_{k=1}^{K_1} \sum_{l=l_{k,1}}^{l_{k,2}} a_{li} + \sum_{K=K_1+1}^{K_2} a_{ii} \right) \right]$$

или

$$\max_{k=\overline{1,K_1}\atop k=\overline{K_1+1,K_2}\atop l_{k,j}\atop l_k=j_k} \left[\sum_{k=1}^{K_1} \sum_{l=l_{k,1}}^{l_{k,2}} \sum_{j=l_{k,1}}^{l_{k,2}} a_{ij} - \sum_{k=1}^{K_1} \sum_{l=l_{k,1}}^{l_{k,2}} a_{li} + \sum_{k=K_1+1}^{K_2} a_{ii} \right].$$

а ограничения — $K_{1 \min} \leqslant K_1 = K_{1 \max}, \ b_{\min} = b_k, \ l_{k+1} \leqslant N_k \leqslant l_{\nu, 2},$

где $i, j=1, 2, 3, ..., N, k=1, 2, ..., K_1$ — соответственно, число отделов и отделений; $k=K_1+1, K_2+2, ..., K$ — помера самостоятельных отделов; $a_1=$ элемент матрицы взаимодействий отделов; $I_{k,1}$, $I_{k,2}$ — текущие значения пижней и верхней границ отделений; b_k — число специализированных отделов в отделениях.

Величины $K_{\rm Emin}$ и $K_{\rm Emax}$ определяются из условия управляемости допустимого числа подчиненных у одного руководителя высшего звена. Согласно [3, 4, 5], оно может быть в пределях от 4-х до 6 (соответственно, $K_{\rm Emin}$ и $K_{\rm Emin}$). Введение $b_{\rm Emin}$ диктуется необходимостью сохранения специализации отраслевых отделений.

Для нахождения наиболее совершенной структуры экспертно составляется таблица допустимых переходов подразделений. При этом эксперты исходят из матрицы взаимосвязей, а также руководствуются рядом неформализуемых соображения, как то, перспективность тех или иных работ, изаимоотношения руководителей и т. д.

В результате перебора и проверки на ограничения, для анализа машиной выдается ряд альтернативных вариантов организационной структуры, ранжированных по значению целевой функции. К реализании принимается вариант, которому эксперты дают наибольшее предпочтение.

Ниже приводится блок-схема алгоритма решения этой задачи, где приняты следующие обозначения:

 $a_{ij} =$ связь i-го отдела с j-ым отделом-темодержателем;

S — суммарная связь между всеми отделами;

 $S_d = \text{сумма внутренних связей отделений;}$

S — сумма внутренних связей исходной структуры, ставшей внешней в данном варианте;

S² — сумма внешних связей исходной структуры, ставшей внутренней в данном варианте;

N =количество всех отделов:

М — количество отделов-темодержателей;

 $N_{k}=$ количество отделов в k-м отделенив;

 $N_{4,\text{min}},\ N_{\text{Modax}}$ — минимальное и максимальное числа отделов и k-м отделении;

 $K^{\mu}_{-\phi}$, $K_{-\phi}$ — коэффициенты эффективности исходной и данной структур;

К — множество отделений, из которых выведены отделы;

К — множество отделений, в которые введены отделы;

\$\omega_ \infty \text{cynma внутренних связей данной структуры;}

И множество отделов отделений К исходной матрицы;

 $I_{A} =$ множество отделов, выведенных из отделений K:

I_к — множество отделов, введенных в отделения К;

 J_{k} — множество отделов-темодержателей в исходной структуре;

 J_{k}^{-} — множество отделов-темодержателей, выведенных из отделений K:

 $J_{\rm A}^{\prime}$ — множество отделов-темодержателей, введенных в отделения K;

 $J_{\bf k}^b$ — множество отделов-темодержателей отделений K в данном варианте.

Исходной информацией алгоритма являются матрица связей отделов $i=1,2...,\ N$ с отделами-темодержателями $j=1,2...,\ M$ и таблица допускаемых переходов отделов.

Ниже приводятся блок-схемы решения задачи при дополнительных ограничениях.

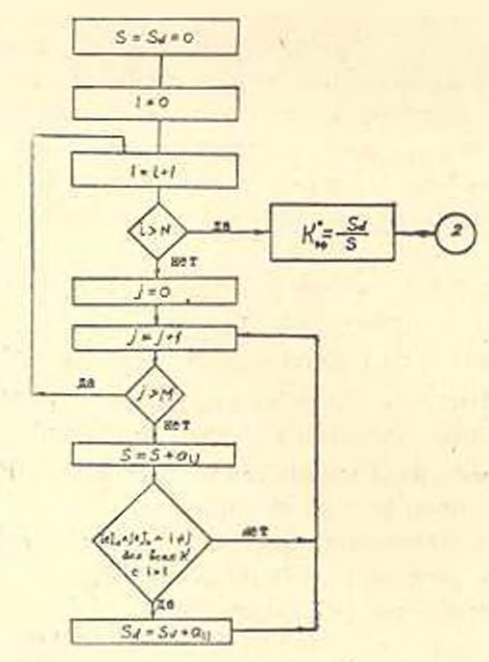


Рис. 1. Блок-схема определения $K_{a\phi}^{0} = \frac{S_{d}}{S}$ исходной структуры.

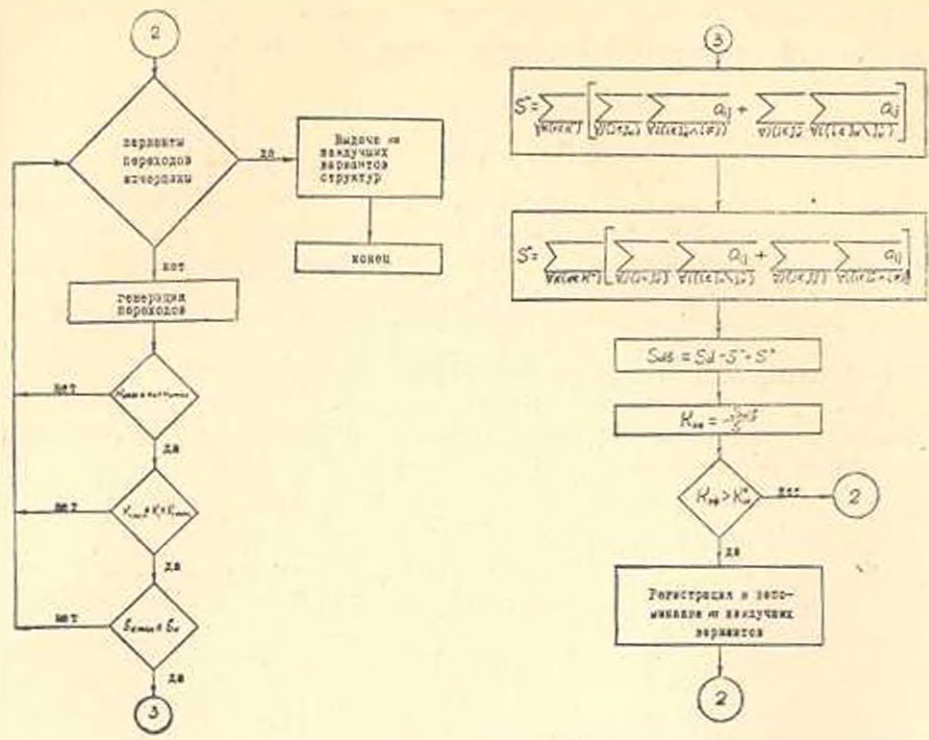


Рис. 2. Блох-схема генерации перехолов.

Рис. 3. Блок-схемя определения $K_{\rm exp}$ варианта структур.

Ep HII HMM

Поступило 30.ХП.1976

Ֆու. Վ. ՉՈՒԵՎ, Ա. Մ. ՄԵԼՔՈՒՄՅԱՆ, Ս. Վ. ՀԱՐՈՒԹՅՈՒՆՅԱՆ, Հ. P. ՄՈՒՐԱԳՅԱՆ

ԳԻՏԱՀԵՏԱԶՈՏԱԿԱՆ ԵՆՍՏԻՏՈՒՏԻ ԿԱԶՄԱԿԵՐՊԱԿԱՆ ԿԱՌՈՒՑՎԱԾՔԻ ՕՊՏԻՄԻԶԱՑԻԱՅԻ ԽՆԴՐԻ ԼՈՒԾՈՒՄԸ ԼՐԱՑՈՒՑԻՉ ՍԱՀՄԱՆԱՓԱԿՈՒՄՆԵՐԻ ԱՌԿԱՅՈՒԹՅԱՆ ԴԵՊՔՈՒՄ

Ամփոփում

Առաջարկվում է բաժանմունքներ և ինքնուրույն թաժիններ ունեցող խուշոր ճյուղային դիտահետազոտական ինստիտուտի կազմակերպական կառուցվածքի մանինմատիկական մոդելը և կառուցվածքի կատարելագործման խնդրի լուծման ալդորինմը։ Առաջարկվում է բաժանմունքների ներքին և արտաքին կապերի սկզբունքորեն նալ բնորոշում։ Խնդրի լուծման ալդորինմը հնարավորություն է տալիս հաշվի առնել այն լրացուցիչ, մանիմատիկորեն դժվար ձևակերպելի սահմանափակումները, որոնք կարող են ի հայտ գալ նման

Առավել կատարյալ կազմակերպական կառուցվածքը դտնելու համար կաղմվում է բաժինների հնարավոր տեղափոխությունների աղյուսակ՝ ելնեյով բաժինների փոխադարձ կապերի մեծություններից և վերոհիշյալ սահմանափակումներից։ Արդյունքում մեջենան առաջարկում է կազմակերպական կառուցվածըների մի շարջ տարրերակներ, որոնցից ընտրվում է դերադասելին։

ЛИТЕРАТУРА

- Абрайтис Л. Б. Алгоритм для определения максимально связанных наборов элементов. «Автоматика и вычислительная техника», № 5, 1970.
- 2. Куперштох В. А. Миркин Б. Г. Упорядочение взаимосвязанных объектов. «Аптоматика и телемеханика», № 6, 7, 1971.
- Организация управления производством в капиталистических странах. Изд. «Протресс», т. 7, М., 1972.
- 4. Dale E. Management. Theory and Practice, New York, McGraw-Hill Book Company, 1965.
- Юксоврии Р Проблемы структуры и управления деловых организаций США. Изд. «Ээстам Размат», Таллии, 1968.

Տեխնիկական գիտուր, սեբիա

XXXI, № 3, 1978

Серия технических наук

НАУЧНЫЕ ЗАМЕТКИ

А. А. ДЖАНПОЛАДЯН, А. Н. САГОЯН

ОБ ОДНОЯ МОДЕЛИ МАССОВОГО ОБСЛУЖИВАНИЯ

Рассмотрим систему обслуживания с одним прибором при эрлановском распределении времени обслуживания с интенсивностью μ , нагруженную пуассоновским источником с параметром λ и детерминированным ограничением, накладываемым на длительность пребывания требований в системе. По обозначениям Кендалла имеем систему массового обслуживания типа M/E_{κ} . С ограниченным временем пребывания, где κ -параметр закона Эрланга.

Целью данной работы является определение законов распределения времени ожидания требований в очереди и пребывания в системе, соценка потерь, возникающих из-за превышения допустимого времени пребывания.

Известно, что для определения вышеприведенных характеристик необходимо пользоваться интегральным методом анализа. Для описанной модели массового обслуживания имеют место следующие интегральные уравнения [1]:

$$F(x) = \int_{0}^{\infty} a(z) G(x+z) dz, \qquad (1)$$

$$G(x) = \int_{0}^{x} F(\xi) S(x-1) d\xi, \qquad (2)$$

$$x \leqslant u_0$$
 (3)

где a(x), $S(x-\overline{\epsilon})$ — соответственно, плотности распределения вероятностей между двумя последовательными поступлениями и длительности обслуживания: u_0 — величина детерминированного ограничения, накладываемого на время пребывания требований в системе.

Для рассмотренного случая имеем:

$$a(x) = ie^{-kx}, (4)$$

$$S(x) = \frac{n}{(k-1)!} x^{k-1} e^{-\mu x}.$$
 (5)

Перепишем уравнение (1) в таком виде:

$$F(x) = \int a(\xi - x) G(\xi) d\xi. \tag{6}$$

Подставляя значения a(x) и S(x) из (4) и (5), соответственно, в (6) и (2), приводя их к удобной форме для дифференцирования и дифференцируя уравнение (6) один раз, а уравнение (2) κ -раза, получаем:

$$(F(x)e^{-\lambda x}) = -\lambda e^{-\lambda x} G(x), \tag{7}$$

$$(G(x)e^{\mu x})^{(k)} = \mu^k F(x)e^{\mu x}, \qquad x \leqslant u_0.$$
 (8)

После упрощения уравнение (7) принимает вид:

$$F'(x) - \lambda F(x) = -\lambda G(x). \tag{9}$$

Введем обозначение:

$$y = F(x) e^{ux}. (10)$$

Подставляя (9) в (8) и учитывая (10), получаем дифференциальное уравнение (k+1)-го порядка с постоянными коэффициентами относительно у:

$$y^{(k+1)} - (\mu + \lambda) y^{(k)} + \lambda \mu^k y = 0, \qquad y \leqslant e^{\lambda u_k}. \tag{11}$$

Заметим, что независимо от значений k. $y = e^{\mu x}$ является решением этого уравнения. Общее решение выглядит так:

$$y = A_0 e^{\alpha x} + \sum_{i=1}^{n} A_i e^{r_i x}, \tag{12}$$

где r_i — корпи уравнения $r^{k+1} = (\mu + \lambda)r^k + i\alpha^n = 0$: A_i — константы, которые определяются из следующих условий:

$$(ye^{-(\mu+x)x})_{x=0} = 0, (ye^{-x})_{x=0} = 1,$$

$$(\frac{(G(x)e^{\mu x})^{\{i\}}}{|\nu|}e^{-(\mu+x)x}) = 0 (i=1, 2, ..., k) (13)$$

$$G(x) = \left(y\left(1+\frac{\mu}{x}\right) - \frac{y}{x}\right)$$

Наконец, находим F(x) из (10) с учетом (12) и условия ограниченности F(x) ($r_t \leqslant \mathfrak{p}$):

$$F(x) = A_1 + \sum_{i} A_i e^{-(\mu - r_i)x}, \qquad x \le u_0, \tag{14}$$

где k_1 — число корней характеристического уравнения. удовлетворяющих условию $r < \mu$.

После этого легко определить G(x) из (9):

$$G(x) = A_0 - \sum_{i=1}^{h_0} A_i e^{-(\mu - r_i)} \left(1 - \frac{r_i - r_i}{h} \right) \qquad x \leqslant u_0. \tag{15}$$

Вероятность потерь требований из-за времени пребывания, превышающего его допустимое значение (ио), определяется формулой:

$$P_{uu}(u_0) = 1 - G(u_0)$$

Учитывая (15), получим:

$$P_{ner}(u_{\bullet}) = C_0 - \sum_{i=1}^{k_1} A_i e^{-(u-r_i)x_{\bullet}} \left(1 - \frac{r_i - v_i}{\lambda}\right).$$
 (16)

гле

$$C_{\nu} = 1 - A_{0}$$

Для частного случая, когда K=1, т. е. обслуживание подчиняется закону Пуассона, для F(x), G(x) н $P_{\rm nov}(u_{\rm n})$ из (14), (15) и (16) получаем общензвестные формулы:

$$F(x) = \frac{1 - \frac{1}{4}e^{-(\mu - \lambda)x}}{1 - \frac{1}{4}e^{-(\mu - \lambda)x}} \qquad x \le u_{\alpha},$$

$$G(x) = \frac{1 - \frac{1}{4}e^{-(\mu - \lambda)x}}{1 - \frac{1}{4}e^{-(\mu - \lambda)x}} \qquad x \le u_{\alpha},$$

$$The x = \frac{\lambda}{\mu}$$

Полученные результаты можно использовать при анализе систем обработки информации, работающих в реальном масштабе времени, т. е. при жестком ограничении времени реакции системы. Для подобных систем важной характеристикой является вероятность потерь информации, которая достаточно полно отражает возможности системы [2]. Одной из составляющих этой вероятности является вероятность нотерь из-за превышения допустимого времени, которую можно определить с помощью формулы (16). Последняя показывает какую часть информации на выхоле системы не пригодна для дальнейшего использования.

ЕрПП им. К. Маркса

Поступило 10 11.1977

🚅 Ա. ՃԱՆՃԱԳԱՆՓԱՆ, 🕰 Ն. ՍՈԳՈՅԱՆ

ՉԱՆԳՎԱԾԱՅԻՆ ՍՊԱՍԱՐԿՄԱՆ ՄԻ ՄՈԴԵԼԻ ՄԱՍԻՆ

որի ժուտրին և Լայուս և բաջիվածություն ուներող

պահանջարկների հոսը, իսկ սպասարկման ժամանակը ենթարկվում է K-պարամետր ունեցող էրլանգի օրենթի։ Համակարգում պահանջարկների գտնվելու ժամանակի վրա գրված է դետերմինացված սահմանափակում։ Նկարագրված համակարդի համար որոշված են պահանջարկների հերթում սպասելու և համակարգում դանվելու ժամանակահատվածների հավանականությունների բաշխման ֆունկցիաները, դնահատված են կորուստները, որոնք տեղի են ունենում պահանջարկի համակարգում դտնվելու ժամանակի սահմանափակման պատճառով։

ЛИТЕРАТУРА

- Кофман Л., Коюси Р. Массовое обслуживание Теория и приложения, Изд. «Мир». М. 1965.
- 2. Сагоян А. Н., Яманджаниян А. А. Об однон характеристике системы обработки информации. Тез. докл. Всесоюзн. научн. техн. симп. «Проблемы совершенствования системы управления экономикой», Ереван. 1976.

FAUULTUALFESAFL

		4.
	έያρ ኢታ <mark>ዩ</mark> ያ <mark>ዩ</mark> ሰ ሆ	
2.	Ի. Աղանց, Գ. հ. Միոզոյան, էլնկտրաէևևրգանամակարգերի դիևամիկ կայունության հայվարկման ևոր լափանիչ	3
ų,	Ս հայատորյան, Ա. Վ. Թեժության, Մ. Ա. Զարսբեկյան, Յու. Ա. Վազաբյան, Խ. Գ. Գեսիոնյան, Ջ. Ա. Բարասանյան. Մեծ էներդամամակարգերի թևագավառի	
	մեկ մարեմատիկական մողելի կառուցման մասին	7
	ՄԵՐԵՆ ԱՇԻՆՈՒԹՅՈՒՆ	
11.	ՈՒ Կաշապետյան, «Բացակե առաձգականության նետ և լոր լփում» ոլ-գծային բլոկի Հարմոնիկ գծայնացումը	13
	<u> </u>	
ŧ.	Մ. Գիլանյան, Վ. II, Վաբալետյան, Հ. Հ. Մոժջյան, Ա. Գ. Տաբասյան, «Ակումոլյա- տորային մարտկոց -իմպուլսային կերպափոխիլ—հաստատուն հոսանրի չարժիլ» համակարդի մանեմատիկական մոդելը	16
p.	Մ. Մաժիկոնյան, է. Ա. Տոնոյան. Ջերոմագեիսական գեղաձև էկրանի մազեիսական գիժազրության մայվարկը	31
	2 ኮ ጉ ቦ <mark>ቤ ፈ</mark> ር ኮ ዛ ፲አ	
ઘ.	. Հ. Բոքվաշյան, հոր հատակով շրանցբների հիդրավլիկական հաշվարկի մասին .	29
	ዓቀያሁላሁን ከጠሥህም	
11.0	ու Վ. Չուև, Ա. Ծ. Մելքումյան, Ա. Վ. Հաշությունյան, Հ. Ս. Մա շաղյան, Դիտահետա- գոտական ինստիտուան կազմակերպական կառուցվաձրի օպտիմիզադիայի խնդրի	
*	յունո մը լրացուցի։ ռամմահափակումների ասկայության դեպրում	25 34

содержание

			Cab.
		ЭНЕРГЕТИКА	
		Адонц, Г. Е. Мирлоян. Новый критерий расчета динамической устойчивости электроэнергетической системы	
		МАШИНОСТРОЕНИЕ	
G.	p.	Карапстян. Гармоническая линеаризация нелинейного блока «люфт с упругостью и сухое трение»	
		ЭЛЕКТРОТЕХНИКА	
		Диланян, В. С. Варпетян, А. А. Моможян, А. П. Тарасян. Математическая модель системы «аккумуляторная батарея—импульсный преобразователь—двигатель постоянкого тока»	16
		ГИДРАВЛИКА	
В.	0	Токмаджи. О гидравлическом расчете каналов с криволинейным диом	29
		научные заметки	
Ю	. <i>B</i>	3. Чува, А. Н. Мелкумян, С. В. Арутюкян, Г. Б. Мурадян. Решение за- зачи оптимизации оргетруктуры НИИ при дополнительных ограничениях	
A	4	Эменджения 4 М Сегови Об одной поледи изсервого обстуживания	39